

GM 69420



**GLOBEX**

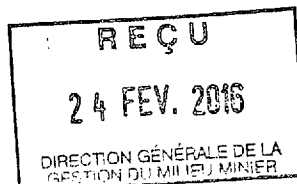
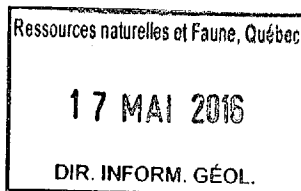
ENTREPRISES MINIÈRES GLOBEX INC.

**PROPRIÉTÉ DUVAN COPPER**  
SECTEUR LA SARRE  
CANTON LA REINE / DESMÉLOIZES – SNRC 32D14

**RAPPORT SUR LES TRAVAUX D'EXPLORATION RÉALISÉS EN 2015**

Benjamin Mougin, *géo.*

Février 2016



1548863.

## RÉSUMÉ

Plusieurs travaux d'exploration ont été effectués par Globex sur sa propriété Duvan Copper (Cantons de LaReine/Desméloizes, Abitibi, Qc, SNRC 32D14) au cours de l'année 2015. Ceux-ci incluent de la reconnaissance terrain, un levé géophysique et du forage au diamant.

Durant l'été 2015, trois journées ont été consacrées à un programme de reconnaissance terrain au niveau d'anomalies magnétiques positives identifiées à partir de la carte du magnétisme régional du secteur de La Sarre. Il s'agissait ainsi de vérifier sur les affleurements l'existence de magnétisme (magnétite, stringers, sulfures massifs) qui aurait pu expliquer ces anomalies. Aucun horizon magnétique n'a été observé à l'affleurement au niveau des zones ciblées par la campagne de reconnaissance terrain. La carte magnétique utilisée semble seulement faire ressortir les zones affleurantes ou subaffleurantes par contraste avec les zones où le mort terrain est plus important.

Au mois de novembre 2015, un levé de polarisation provoquée a été conduit par Lambert Geophysics à l'est de la mine Duvan. Ce levé a consisté en un total de 7,2 km répartis sur quatre lignes d'orientation N060°, soit perpendiculaires à la schistosité régionale et à l'axe PP historique de la mine. Le levé de polarisation provoquée a révélé une anomalie de chargeabilité positive associée à une forte baisse de résistivité qui pourrait correspondre à une zone de sulfures massifs, une centaine de mètres à l'est de la mine Duvan.

Par la suite, deux trous de forage ont été effectués par Forage Hébert au mois de décembre 2015 pour tester à faible profondeur verticale l'anomalie révélée par le levé de polarisation. Les deux sondages ont recoupé des zones de stringers de pyrite-magnétite entre 100 et 200 m de profondeur verticale. Le sondage DUV-15-01 a également recoupé une zone de sulfures massifs (pyrite-pyrrhotite) de 40 cm à une profondeur verticale de 100 mètres. Les analyses en laboratoire ont retourné des teneurs en cuivre et en zinc inférieures à 0,1 %. Une teneur de 0,75 g/t Au a été obtenue sur une veine de quartz dans le sondage DUV-15-01.

La suite des travaux d'exploration dans ce secteur pourrait consister en un forage au diamant sous le sondage DUV-15-02, afin de vérifier l'extension de la rhyolite minéralisée en sulfures massifs, et tester un possible enrichissement en cuivre et zinc en profondeur.

TABLE DES MATIÈRES

<b>RÉSUMÉ</b> .....	<b>I</b>
<b>1 INTRODUCTION</b> .....	<b>1</b>
<b>2 LOCALISATION ET DESCRIPTION DE LA PROPRIÉTÉ</b> .....	<b>1</b>
<b>3 ACCÈS</b> .....	<b>1</b>
<b>4 GÉOLOGIE GÉNÉRALE</b> .....	<b>1</b>
4.1 LITHOSTRATIGRAPHIE.....	2
4.2 ROCHES PLUTONIQUES .....	3
4.3 STRUCTURE ET MÉTAMORPHISME .....	4
<b>5 GÉOLOGIE DE LA PROPRIÉTÉ</b> .....	<b>6</b>
5.1 CONTEXTE MÉTALLOGÉNIQUE .....	6
<b>6 HISTORIQUE DES TRAVAUX ANTÉRIEURS</b> .....	<b>7</b>
<b>7 TRAVAUX RÉALISÉS EN 2015</b> .....	<b>9</b>
7.1 RECONNAISSANCE TERRAIN.....	9
7.1 GÉOPHYSIQUE.....	9
7.1.1 <i>Objectifs du levé IP</i> .....	9
7.1.1 <i>Résultats et interprétations du levé IP</i> .....	12
7.2 FORAGE .....	13
7.2.1 <i>Objectifs des travaux de forage</i> .....	13
7.2.1 <i>Description des sondages</i> .....	13
7.2.2 <i>Traitement, analyse et sécurité des échantillons</i> .....	15
7.2.3 <i>Résultats d'analyses en laboratoire</i> .....	15
<b>8 INTERPRÉTATIONS</b> .....	<b>16</b>
<b>9 CONCLUSION ET RECOMMANDATIONS</b> .....	<b>18</b>
<b>10 BIBLIOGRAPHIE</b> .....	<b>19</b>
<b>11 CERTIFICAT DE QUALIFICATION</b> .....	<b>22</b>

## LISTE DES TABLEAUX

---

TABLEAU 1 : STATISTIQUES DE FORAGE DE LA CAMPAGNE 2015 .....	13
TABLEAU 2 : MEILLEURES INTERSECTIONS EN CUIVRE ET ZINC DE LA CAMPAGNE DE FORAGE 2015.....	16
TABLEAU 3 : MEILLEURES INTERSECTIONS EN OR ET ARGENT DE LA CAMPAGNE DE FORAGE 2015.....	16

## LISTE DES FIGURES

---

FIGURE 1 : RÉPARTITION DES TITRES MINIERES DE LA PROPRIÉTÉ DUVAN COPPER ZONE.....	2
FIGURE 2 : CARTE GÉOLOGIQUE DE LA RÉGION À L'OUEST DE LA SARRE, D'APRÈS TREMBLAY ET AL., 1996. ....	5
FIGURE 3 : TRACÉ GPS ET AFFLEUREMENTS VISITÉS AU COURS DE LA CAMPAGNE DE CARTOGRAPHIE 2015 SUR LA PROPRIÉTÉ DUVAN.....	10
FIGURE 4 : COUPE DE LIGNES RÉALISÉE EN 2015 SUR LES CLAIMS DE LA PROPRIÉTÉ DUVAN .....	11
FIGURE 5 : LOCALISATION DE L'ANOMALIE IP 2015 PAR RAPPORT À L'AXE IP HISTORIQUE DE LA MINE DUVAN.....	12
FIGURE 6 : PLAN DE SURFACE LOCALISANT LES FORAGES DE 2015 ET L'ANOMALIE IP RÉVÉLÉE EN 2015	14
FIGURE 7 : SECTION DE FORAGE INTERPRÉTÉE SUITE À LA CAMPAGNE 2015 .....	17

## LISTE DES ANNEXES

---

ANNEXE I LISTE DES TITRES MINIERES .....	
ANNEXE II JOURNAUX DE SONDRAGE.....	
ANNEXE III CERTIFICATS D'ANALYSE EN LABORATOIRE.....	
ANNEXE IV GRAPHIQUES QAQC.....	

## 1 INTRODUCTION

Des travaux de reconnaissance terrain, de géophysique et de forage ont été réalisés par Globex dans la deuxième moitié de l'année 2015 sur la propriété Duvan (100 % Globex). Le présent rapport fait état des observations et interprétations issues de ces différents travaux.

## 2 LOCALISATION ET DESCRIPTION DE LA PROPRIÉTÉ

La propriété Duvan Copper est située à environ 6 km au NE du village de La Reine (Qc), soit environ 15 km au NO de La Sarre (Qc). Elle consiste en un total de 32 titres miniers couvrant une superficie de 1 341 Ha, répartis sur les lots 25 à 38 des rangs 1 à 3 du canton de Desméloizes, et sur les lots 34 à 38 du rang 10 du canton de La Reine (SNRC 32D14 ; Figure 1). La liste des titres miniers est disponible en Annexe I du présent rapport.

## 3 ACCÈS

La propriété Duvan Copper est accessible par l'ouest depuis la route 111 puis par les 1<sup>er</sup> et 10<sup>e</sup> Rangs / 2<sup>e</sup> et 3<sup>e</sup> Rangs vers l'ouest. La partie est de la propriété est accessible depuis le village de La Reine par la route de La Reine-Saint-Lambert vers le nord puis par les 2<sup>e</sup> et 3<sup>e</sup> Rangs vers l'est.

## 4 GÉOLOGIE GÉNÉRALE

Les informations contenues dans les parties « Géologie Générale » et « Géologie Locale » sont essentiellement extraites de Tremblay et al. (1996) et Roger (1992).

Le socle rocheux de la région de La Sarre appartient à la ceinture de roches vertes de l'Abitibi, une séquence de roches volcaniques et sédimentaires archéennes de la Province du Supérieur. Du nord vers le sud, Lacroix (1995) a identifié quatre principaux assemblages lithologiques (Figure 2) : les basaltes et rhyolites de Normétal, et les groupes de Chicobi, de Mine Hunter et de Stoughton-Roquemaure. À l'ouest de La Sarre, certaines de ces unités sont recoupées par des intrusions granitiques (*sensus largo*) syn-orogéniques. L'ensemble de la région est sillonné par des dykes de diabase d'âge protérozoïque recoupant les roches extrusives et intrusives ainsi que les structures régionales.

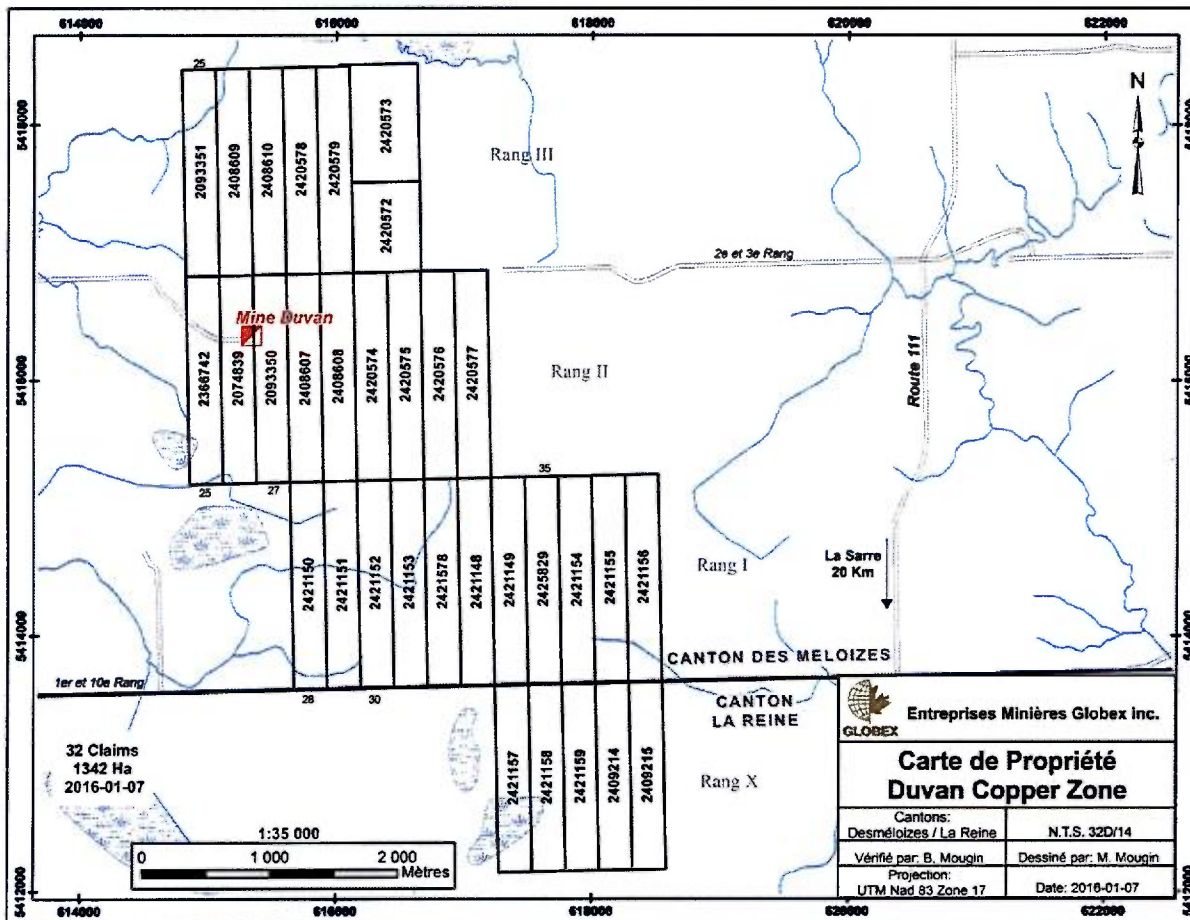


Figure 1 : Répartition des titres miniers de la propriété Duvan Copper Zone.

#### 4.1 LITHOSTRATIGRAPHIE

Les basaltes et rhyolites de Normétal (Lacroix, 1995) et le Groupe de Chicobi (Hocq, 1990) affleurent dans la partie nord-est de la région, au nord de la faille Macamic (Figure 2). Les rhyolites de Normétal sont datées à  $2\,727 \pm 2,6 / -2,1$  Ma (Mortensen, 1993) et à  $2\,722 \pm 3$  Ma (Zhang et al., 1993), et reposent en contact chevauchant sur le Groupe de Chicobi le long de la faille Nord-Chicobi. Le Groupe de Chicobi est constitué d'une alternance de grès, siltstone et d'argilite. Au sud-est, il est limité par la faille Macamic.

Le Groupe de Mine Hunter (Dimroth et Rocheleau, 1979), daté à  $2\,729,6 \pm 1,4$  Ma (Mortensen, 1993), est hôte de la minéralisation du gîte Duvan. Il constitue plus de 50 % des roches volcaniques de la région de La Sarre (Figure 2). Il est principalement composé de rhyolites, d'andésites massives ou porphyriques, de basaltes massifs ou coussinés et d'une faible proportion de tufs felsiques à

intermédiaires et de formations de fer interstratifiées avec les rhyolites. Selon Bonneau (1992), le Groupe de Mine Hunter est une série calco-alcaline représentant les vestiges d'un volcanisme d'arc. Lafrance, 2003, appuie cette idée et précise que les groupes de Mine Hunter et Stoughton-Roquemaure se seraient formés en contexte de bassin d'avant-arc. Stratigraphiquement, Dimroth et al. (1982) et Dostal et Mueller (1997) situent le Groupe de Mine Hunter sous le Groupe de Stoughton-Roquemaure, alors que Hocq (1990), croit plutôt que ces deux unités sont en contact tectonique. La cartographie et les analyses géochimiques des roches volcaniques autour du pluton de La Reine (Lacroix, 1995) ont montré que celles-ci sont constituées de basaltes et komatiites appartenant au Groupe de Stoughton-Roquemaure (Eakins, 1972) dont l'âge minimal a été estimé à  $2\,714 \pm 2\text{Ma}$  (Corfu et al., 1989).

### 4.2 ROCHES PLUTONIQUES

Les roches intrusives constituent une importante proportion du socle rocheux de la région de La Sarre (Lacroix, 1995). À l'ouest de La Sarre, les plutons affleurent essentiellement au sud de la faille Macamic (Figure 2), et recourent les roches des Groupes de Mine Hunter et de Stoughton-Roquemaure. Ces masses intrusives syn-orogéniques sont les plutons du Lac Abitibi, de LaReine, de DuReine, de Colombourg, de Palmarolle, de Dupuy et de la Rivière Calamité. À l'extrémité nord-ouest du pluton syn-volcanique de la Rivière Calamité, un petit pluton sans nom appartient possiblement à la famille des plutons syn-orogéniques.

Les plutons du Lac Abitibi et de LaReine sont essentiellement constitués de tonalite leucocrate et mésocrate à biotite, datées à  $2\,696 \pm 2\text{ Ma}$  (W. Davis, communication personnelle dans Lacroix, 1995) et à  $2\,694,8 \pm 1,7\text{ Ma}$  respectivement, et d'une phase granodioritique à biotite-hornblende ayant été datée à  $2\,689,8 \pm 1\text{ Ma}$  dans le pluton du Lac Abitibi (Mortensen, 1993). Les plutons de Palmarolle, Dupuy et DuReine sont essentiellement de composition granodioritique. Le pluton de DuReine, hôte de la minéralisation aurifère du gîte DuReine, est situé à environ 1km au nord du pluton de LaReine dont il représente possiblement une apophyse. Se basant sur différentes datations isotopiques disponibles pour les plutons syn-orogéniques de la région de La Sarre, Lacroix (1995) propose que la phase granodioritique de ces intrusions est légèrement plus jeune que la phase tonalitique et suggère que le magmatisme syn-orogénique fut complété dans un intervalle de temps d'environ 6 Ma, soit 2 697-95 Ma à 2 690 Ma.

## 4.3 STRUCTURE ET MÉTAMORPHISME

Les roches de la région de La Sarre ont été intensément métamorphisées et déformées. Contrastant fortement avec les autres secteurs de la Ceinture de Roches Vertes de l'Abitibi qui sont généralement caractérisées par des assemblages métamorphiques du faciès schiste vert, le métamorphisme régional atteint le grade de l'amphibolite et, localement, des migmatites (Lacroix, 1995). Le métamorphisme amphibolitique régional, fréquemment rétrogradé à des faciès du schiste vert, est considéré comme contemporain d'une phase de déformation  $D_2$  et de la mise en place des plutons syn-orogéniques (Lacroix, 1995).

Les structures associées à la phase de déformation  $D_1$  sont principalement observées dans les roches affleurant au nord-est de la faille Macamic (Figure 2). La schistosité  $S_1$ , orientée NO-SE avec un pendage d'environ  $60^\circ$  vers le NE, est particulièrement bien développée dans les basaltes de Normétal. Au sud-ouest de la faille Macamic, l'anticlinal du Lac Abitibi, affectant les roches du Groupe de Stoughton-Roquemaure affleurant à quelques kilomètres au sud du pluton de LaReine, est attribué à la phase  $D_1$  (Lacroix, 1995). Selon Lacroix et Sawyer (1995), les structures  $D_1$  de la région de La Sarre résultent d'un épisode précoce de failles de chevauchement à vergence vers le sud et le sud-ouest, et sont caractéristiques de toute la partie nord-ouest de la ceinture de roches vertes de l'Abitibi.

Au sud de la faille Macamic, les structures  $D_1$  sont fortement transposées et souvent oblitérées par une phase de déformation subséquente ( $D_2$ ). La phase  $D_2$  est caractérisée par la présence de zones de cisaillement ductile à ductile-fragile orientées approximativement NNO-SSE, qui sont principalement situées au sud-ouest de la faille Macamic. La faille Macamic correspond à un important corridor de déformation en cisaillement dextre (Labbé, 1994 ; Lacroix et Sawyer, 1995) qui, dans la région de La Sarre, affecte à peu près toute la bande sédimentaire du Groupe de Chicobi. Les failles Duvan et Petit Duvan font partie d'une famille de failles NNO-SSE qui sont subparallèles et contemporaines de la faille Macamic (Lacroix, 1995). Toutes ces zones de cisaillement sont caractérisées par une foliation subverticale orientée NNO-SSE et porteuse de linéations minérales et de linéations d'allongement plongeant faiblement vers le NNO. La faille Duvan, structure hôte de la minéralisation du gîte Duvan, ainsi que la faille Dupuy représentent vraisemblablement des structures directement tributaires de la faille Macamic. Un autre système de failles orientées ENE-OSO et à pendage faible à modéré vers le NO, telles que les failles du Lac Abitibi, de La Reine, de Nepawa et de Le Moine (Lacroix, 1995), est contemporain des failles NO-SE et résulte d'une structuration complexe associée à des mouvements normaux et inverses.

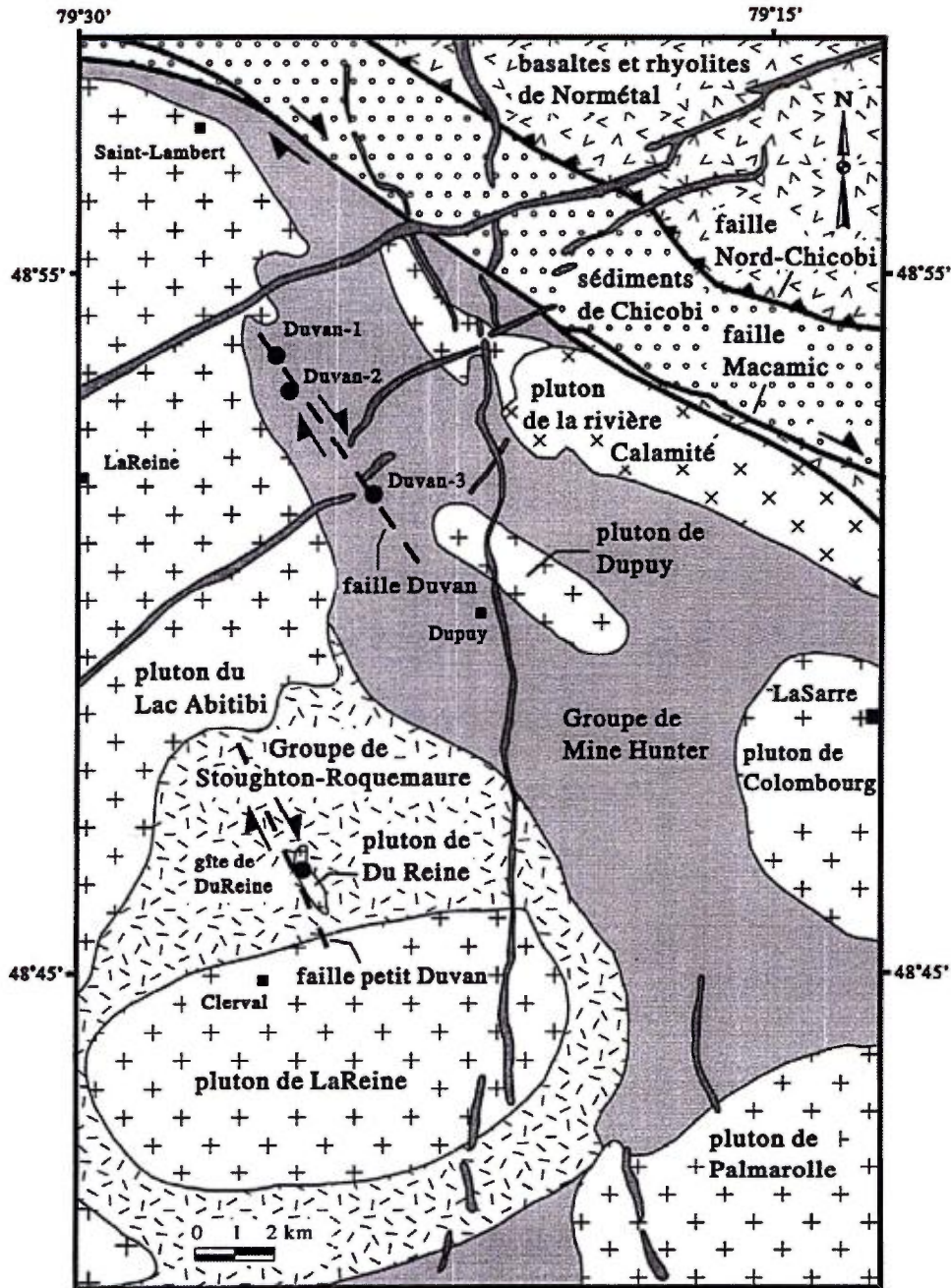


Figure 2 : Carte géologique de la région à l'ouest de La Sarre, d'après Tremblay et al., 1996.

Dans la région de La Sarre, l'évolution métamorphique des roches supracrustales au cours de la phase D<sub>2</sub> est synchrone à la mise en place et du refroidissement des plutons syn-orogéniques qui ont eu une influence thermique majeure au cours de l'évolution structurale des roches encaissantes (Lacroix, 1995). En de nombreuses localités, cette interprétation est corroborée par le parallélisme et le passage graduel entre des foliations et linéations magmatiques vers des foliations formées à l'état solide dans les secteurs environnant les plutons syn-orogéniques, et par de fréquentes relations de recoupement

réci-proque entre les zones de cisaillement  $D_2$  et les différentes générations d'injections plutoniques en bordure.

## 5 GÉOLOGIE DE LA PROPRIÉTÉ

La propriété Duvan Copper est occupée, dans la partie nord-est, par des basaltes amphibolitisés localement coussinés. Par endroits, les basaltes sont magnétiques et le cœur des coussins est épidotisé et carbonatisé. La schistosité varie de  $140$  à  $150^\circ$  et les pendages observés sont environ  $75^\circ$  vers le sud-ouest. Les coussins sont fortement étirés selon la schistosité et montrent une plongée variant de  $35$  à  $45^\circ$  vers le nord-ouest. Une polarité nord-est est suggérée par les coussins.

Une séquence mixte de tuf fin et à lapilli de composition intermédiaire à felsique occupe la partie sud-ouest. Localement, la présence de lapilli polymictes (10-30 %) fortement étirés (2 : 1 à 6 : 1) principalement dans le secteur de la Mine Duvan près du contact avec les basaltes a été notée. Le degré de métamorphisme varie de schiste vert supérieur à amphibolite inférieure. La présence de grenats est observée sur plusieurs affleurements et principalement le long de l'horizon Duvan dans les tufs felsiques. Localement, la présence de lentilles de magnétite semi-massive orientées parallèlement au litage du tuf intermédiaire a été notée.

La schistosité observée dans les tufs varie de  $145$  à  $150^\circ$  et les pendages mesurés sont abrupts, variant de  $75$  à  $90^\circ$  vers le sud-ouest. La linéation d'étirement montre une faible plongée variant entre  $25$  et  $45^\circ$  vers le nord-ouest. Le fort degré de déformation et la faible plongée de la linéation d'étirement pourraient être reliés au mouvement horizontal associé au corridor de déformation de la faille Macamic, située à quelques kilomètres au nord de la propriété.

Finalement, un dyke régional de diabase de direction NE-SO recoupe la partie sud-est de la propriété.

### 5.1 CONTEXTE MÉTALLOGÉNIQUE

Dans la région de La Sarre et ses environs immédiats, les principaux gisements métallifères mis en valeur sont la mine Normétal au nord, et les mines Hunter et Lyndhurst au sud. À l'ouest de La Sarre, il existe plus d'une dizaine d'indices minéralisés répertoriés dans les fiches de gîte du MRNQ. Ces sites minéralisés sont regroupés sous trois types de minéralisations distinctes ; (i) minéralisations en sulfures polymétalliques associées à des assemblages basaltiques-rhyolitiques (Groupe de Mine Hunter) ou

sédimentaires (Groupe de Chicobi) cisailés ; (ii) minéralisations aurifères associées à des veines de quartz recoupant des plutons felsiques ; et (iii) minéralisations nickélifères associées à des roches ultramafiques. Les indices minéralisés sur la propriété Duvan correspondent aux premiers types de minéralisations. En se basant sur la similitude lithologique des roches-hôtes, Lacroix (1995) a proposé que l'horizon minéralisé du gîte Duvan représente un équivalent stratigraphique des niveaux minéralisés de la Mine Hunter.

### **6 HISTORIQUE DES TRAVAUX ANTÉRIEURS**

Le prospect Duvan Copper fut découvert en 1925 par la compagnie Rex Mining Ltd. Relativement peu de travaux d'exploration furent effectués entre 1925 et 1952. Entre 1952 et 1960, la compagnie Duvan Copper effectua des sondages au diamant, creuse un puits de 304m de profondeur et fonda des galeries sur 8 niveaux. Ces travaux ont permis de définir un tonnage de 113 000t d'une teneur moyenne de 2.5 % Cu et de 100 gpt Ag. En 1960, 1 160t de minerai titrant 12 % Cu et 100,8 gpt Ag furent traitées à la fonderie de Noranda. Finalement, la mine fut fermée en 1960 en raison du faible prix du cuivre et relativement peu de travaux d'exploration ont été effectués depuis.

Le prospect Bornite Copper fut découvert en 1949. Entre 1952 et 1956, un total de 37 sondages au diamant fut réalisé dans les environs du prospect par trois compagnies. Les meilleures intersections ont donné 2,21 % Zn, 0,42 % Cu sur 1,7 m et 6,29 % Zn, 0,51 % Cu sur 0,65 m. Après 1956, peu de travaux ont été effectués dans ce secteur.

#### **❖ Récapitulatif des travaux historiques :**

- 1925 : Rex Mining Ltd ; prospection, découverte du prospect Duvan
- 1928 : Laval Québec Mines ; levé magnétométrique, tranchées et 915 m de sondage au diamant
- 1949-1950 : Dominion Gulf ; prospection à l'est du prospect Bornite Copper
- 1951 : Quebec Diversifield M. Corp. ; cartographie géologique (Bornite Copper)
- 1952 : Dominion Gulf ; 3 sondages au diamant à l'est du prospect Bornite Copper
- 1952 : Quebec Diversifield M. Corp. ; 11 sondages au diamant (secteur du prospect Bornite Copper). La meilleure analyse a donné 2,21 % Zn et 0,42 % Cu sur 1,7 m
- 1952 : Desméloizes Mining Corp. ; prospection, levé magnétométrique et 11 sondages au diamant totalisant 625m dans le secteur du prospect Duvan
- 1953 : Duvan Copper Co. Ltd. ; 14 sondages au diamant totalisant 1 260 m (prospect Duvan)
- 1953 : Normetal Mining Corp. ; 12 sondages au diamant totalisant 2 438 m (prospect Duvan)

## Entreprises Minières Globex Inc.

---

- 1953 : Quebec Diversifield M. Corp. ; 6 sondages au diamant (prospect Bornite Copper)
- 1954 : Duvan Copper Co. Ltd. ; 22 sondages au diamant totalisant 4 908 m (prospect Duvan)
- 1955 : Vandoo Copper Mining Corp. ; 3 sondages au diamant totalisant 705 m dans la partie SE de la propriété (prospect Bornite Copper)
- 1955-1956 : Duvan Copper Co. Ltd. ; creusage d'un puits de 305 m et de 8 niveaux
- 1955-1956 : Duvan Copper Co. Ltd. ; calcul de réserve estimé à 102 600 t à 2,5 % Cu et 100 gpt Ag
- 1956 : Chedabacto Min. Corp. ; levés magnétométriques, 6 sondages au diamant
- 1956 : Bornite Copper Corp. ; 11 sondages au diamant (prospect Bornite). La meilleure analyse a donné 6,29 % Zn et 0,51 % Cu sur 0,64 m
- 1959 : Duvan Copper Co. Ltd. ; programme de sondage au diamant totalisant 2 850 m
- 1960 : Duvan Copper Co. Ltd. ; un échantillon de 1 415 t est envoyé à la fonderie de Noranda (10,45 % Cu, 100 gpt Ag). La mine est fermée et l'équipement est vendu.
- 1975-1977 : New Isco Mines Ltd. ; cartographie géologique, levés magnétique et électromagnétique
- 1978 : Great Plains Res. Ltd. ; 1 sondage au diamant
- 1985-1987 : Aunore Res. Inc. ; levé magnétométrique
- 1992 : Explorations Noranda Ltée.; coupe de lignes, levé magnétométrique, levé P.P., cartographie géologique, 3 décapages, 2 forages
- 1997 : Ressources Cristal Inc. ; prospection-cartographie dans la zone Bornite Copper, échantillonnage sur le site de la Mine Duvan, échantillonnage des haldes de la Mine Duvan en vue d'en évaluer le potentiel économique
- 1998 : Ressources Cristal Inc. ; décapage et échantillonnage (prospect Bornite Copper)
- 2007 : DIAGNOS Inc. ; génération assistée (CARDS : « Computer Aided Resource Detection System ») de cibles minéralisées potentielles autour du gîte Bornite Copper
- 2011 : Globex Mining Enterprises Inc. ; coupe de lignes et levé magnétométrique champ total dans la partie nord-ouest de la propriété Duvan (secteur de la Mine Duvan)
- 2013 : Globex Mining Enterprises Inc. ; coupe de lignes, levé magnétométrique champ total et levé électromagnétique (HLEM) dans le secteur de la Mine Duvan, compilation bibliographique
- 2014 : Globex Mining Enterprises Inc. ; cartographie de terrain

## 7 TRAVAUX RÉALISÉS EN 2015

### 7.1 RECONNAISSANCE TERRAIN

La carte du magnétisme régional disponible sur le site « Sigeom » montre plusieurs anomalies positives modérées à fortes sur les titres miniers annexés à la propriété Duvan par Globex au début de l'année 2015. Ces anomalies magnétiques, encerclées en rouge sur la figure 3, semblent s'aligner le long d'un axe N340° avec l'indice Bornite Copper (2,21 % Zn et 0,45 % Cu / 1,67 m), situé dans la partie SE de la propriété. L'autre particularité de cet axe est qu'il est orienté parallèlement à l'horizon de la mine Duvan, environ 1,3 km à l'est de ce dernier.

La campagne de terrain effectuée à l'été 2015 avait donc pour but d'expliquer ces anomalies, en vérifiant la présence en surface d'horizons magnétiques sulfurés qui pourraient correspondre à l'extension de l'horizon minéralisé de l'indice Bornite. Cette campagne de cartographie a été menée sur trois (3) jours, soient les 25 mai, 16 et 17 juin 2015. Malheureusement, la quantité d'affleurements dans les secteurs visités était souvent faible et les anomalies magnétiques n'ont pas pu être expliquées là où la roche affleurait. Un mémo interne indépendant décrit en détail le travail effectué sur le terrain (Mougin, 2015). La figure 3 présentée ci-après montre le trajet parcouru et localise les affleurements visités durant ces trois journées.

### 7.1 GÉOPHYSIQUE

#### 7.1.1 Objectifs du levé IP

Au cours de l'automne 2015, Globex a mandaté Lambert Geophysics pour conduire des travaux de coupe de lignes suivis par un levé de géophysique IP. Quatre (4) lignes de longueur comprise entre 1 100 et 1 800 m et espacées de 200 m latéralement, ont été coupées dans la direction N060° à partir de la mine Duvan, pour un total d'environ 7,2 km de levé (Figure 4). L'objectif de ce levé était de mettre en évidence des anomalies de polarisation à faible profondeur au niveau des anomalies magnétiques positives visitées à l'été 2015. Le cas échéant, ces anomalies PP définiraient un axe parallèle à celui de la mine, à l'est de ce dernier, en ligne avec l'indice Bornite Copper.

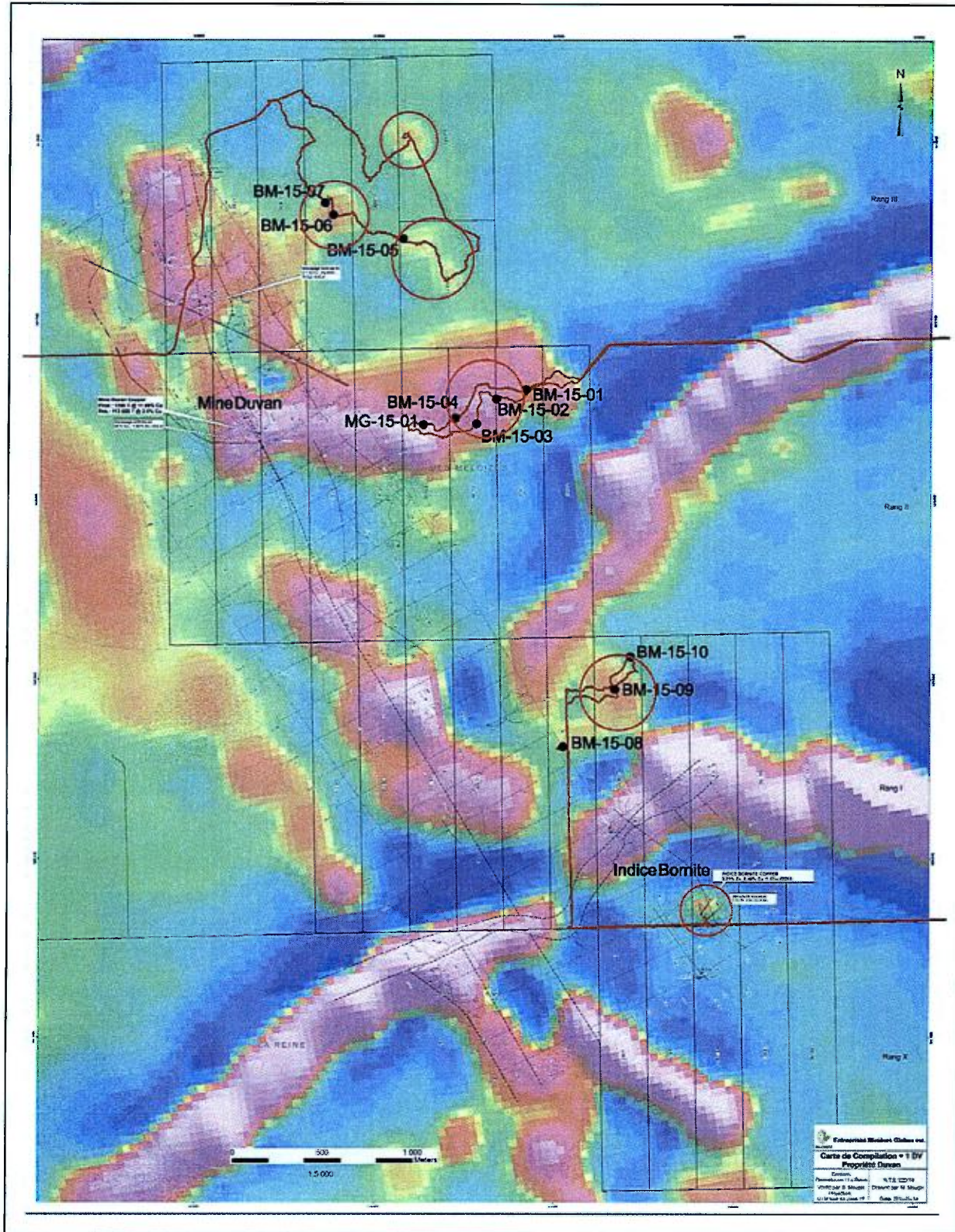


Figure 3 : Tracé GPS et affleurements visités au cours de la campagne de cartographie 2015 sur la propriété Duvan.

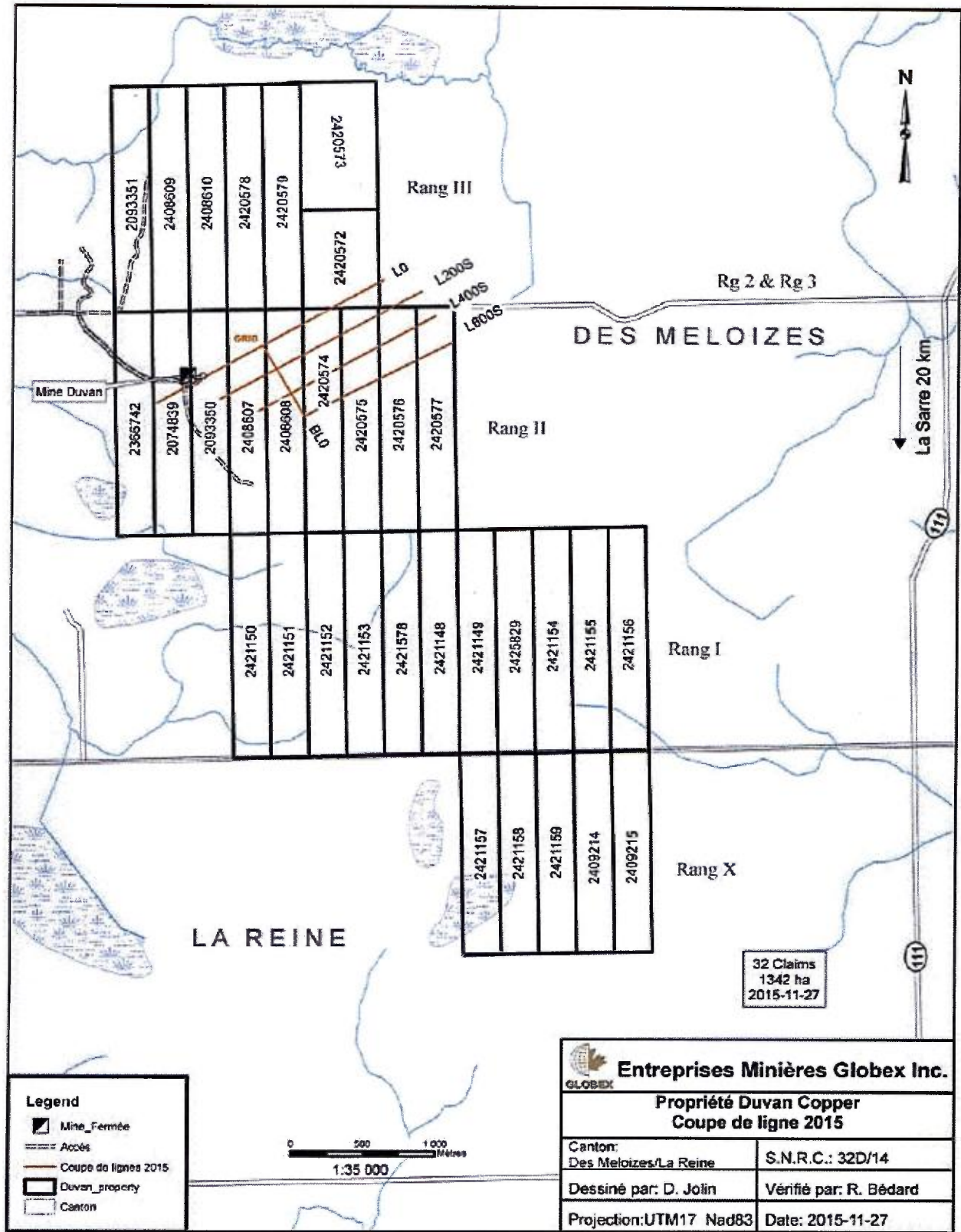


Figure 4 : Coupe de lignes réalisée en 2015 sur les claims de la propriété Duvan

## 7.1.1 Résultats et interprétations du levé IP

Le levé de polarisation provoquée a révélé une anomalie de chargeabilité positive associée à une forte baisse de résistivité à l'endroit de la L000N – St 550 ouest, soit une centaine de mètres au sud-est de la mine Duvan. Les sulfures massifs engendrent habituellement ce type d'anomalies (Lambert, 2015).

Le plan proposé en figure 5 situe l'anomalie IP de 2015 par rapport à l'horizon IP historique de la mine Duvan, dont la minéralisation en pyrite-sphalérite-chalcopryrite-bornite peut être suivie à l'affleurement vers le sud-est jusqu'aux piles de stérile de la mine. L'anomalie IP de 2015 se trouve très proche de l'axe de la mine Duvan et pourrait correspondre à l'extension du système VMS en profondeur vers l'est.

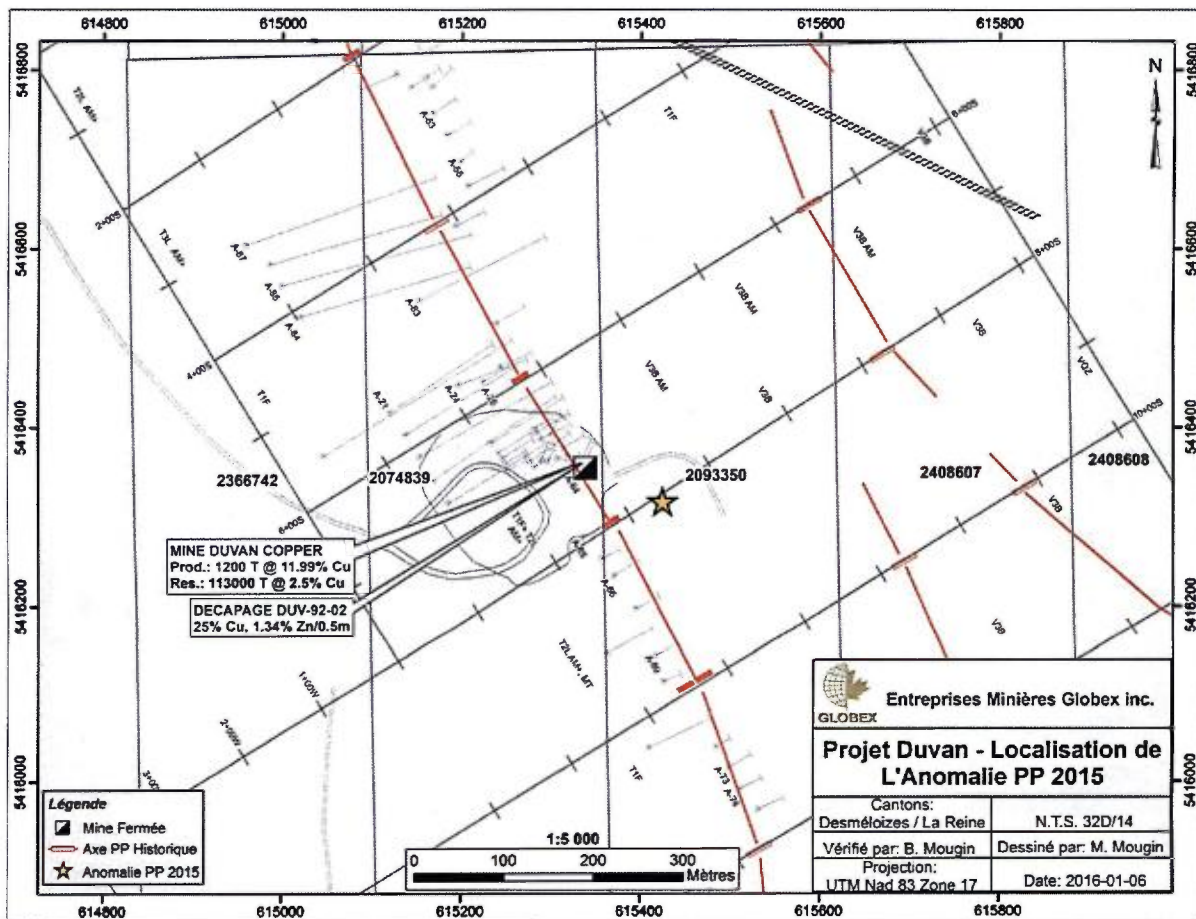


Figure 5 : Localisation de l'anomalie IP 2015 par rapport à l'axe IP historique de la mine Duvan

## 7.2 FORAGE

### 7.2.1 Objectifs des travaux de forage

Suite au levé de géophysique IP effectué au mois de novembre 2015, Globex a décidé de forer l'anomalie révélée au sud-est de la mine Duvan. Deux sondages totalisant 527,65 m ont été effectués par la compagnie Forage Hébert, d'Amos, dans le but de recouper cette anomalie entre 100 et 200 m de profondeur verticale. Le tableau 1 présente les statistiques de forage de la campagne 2015. Un plan de surface localisant les forages de 2015 est présenté en figure 6. Les travaux de forage se sont déroulés entre le 14 et le 18 décembre 2015 et sont commentés ci-dessous.

Tableau 1 : Statistiques de forage de la campagne 2015

#Sondage	UTM_Est (NAD 83)	UTM_Nord (NAD 83)	Azimut	Inclinaison	Longueur finale
<i>DUV-15-01</i>	615456	5416339	245	-60	234 m
<i>DUV-15-02</i>	615456	5416339	270	-70	293,65 m

### 7.2.1 Description des sondages

Les journaux de sondages sont disponibles en Annexe II du présent rapport.

#### *DUV-15-01*

Le sondage DUV-15-01 a été orienté perpendiculairement à la schistosité régionale et aux axes IP historiques, soit un azimut de 245°. Il a traversé une faible épaisseur de mort terrain (1,5 m) avant d'atteindre le substratum rocheux. L'encaissant est majoritairement composé de basaltes amphibolitisés (amphibolites) à grain fin, de couleur noire. Des grenats rosés à rouges ont été observés entre 220 et 230 m. Localement, une altération faible à modérée en chlorite affecte les amphibolites, parfois accompagnée de faibles carbonatation et hématisation. Quelques intrusions intermédiaires à mafiques larges de < 1 m à 3 m recouper l'encaissant. Plusieurs indicateurs de plissement et boudinage ont par ailleurs été dénotés dans le log en observant la foliation.

Des stringers de sulfures ont été décrits en plusieurs places à l'intérieur des amphibolites (129 à 133 m, 137 à 141 m, 227 m). Les sulfures observés dans les stringers sont essentiellement composés de la

# Entreprises Minières Globex Inc.

pyrite et de magnétite (environ 70 % Py – 30 % Mt), accompagnées localement de traces de chalcopryrite et sphalérite.

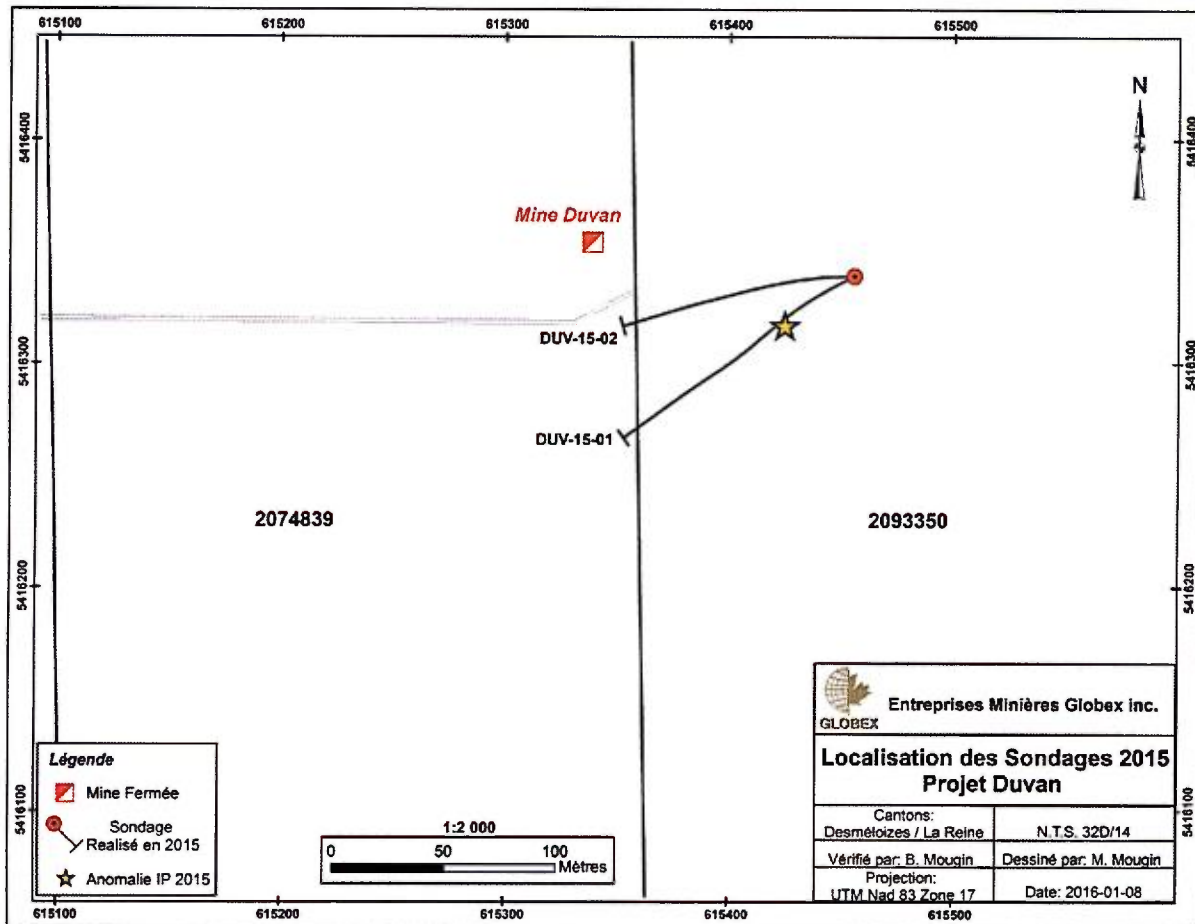


Figure 6 : Plan de surface localisant les forages de 2015 et l'anomalie IP révélée en 2015

Des sulfures massifs ainsi que des stringers de pyrite – pyrrhotite et pyrite - magnétite ont été observés dans une rhyolite entre 135 et 137 m. La rhyolite est présente entre 134,89 et 137 m sur le sondage DUV-15-01. Deux passées de sulfures massifs de 20 cm et 10 cm sont présentes entre 135,74 et 136,14 m ; la première est composée d'environ 65 % pyrrhotite et 35 % pyrite, tandis que la seconde contient environ 75 % pyrite et 25 % pyrrhotite. Des stringers de pyrite – pyrrhotite affectent la rhyolite entre les deux passées semi-massives. Des stringers de pyrite – magnétite (environ 60 % Py – 40 % Mt) affectent la rhyolite sur le reste de l'intervalle suivant les deux passées de sulfures massifs.

Le sondage DUV-15-01 a été arrêté à une profondeur de 234 m dans les amphibolites.

## *DUV-15-02*

La déviation de l'azimut ayant été assez forte sur le premier sondage, le sondage DUV-15-02 a été enligné suivant un azimut 270°. L'inclinaison a de plus été augmentée à -70° dans le but de tester la continuité en profondeur de la zone minéralisée recoupée à 135 m par DUV-15-01.

Le sondage DUV-15-02 a traversé 1,5 m de mort terrain avant d'atteindre le substratum rocheux. L'encaissant dominant est constitué par des amphibolites contenant localement des grenats. La roche présente fréquemment une chloritisation faible à moyenne. Entre 240 et 290 m environ, une large zone d'altération affecte les amphibolites ; plusieurs types d'altération ont été décrits sur cet intervalle : chloritisation, carbonatation, séricitisation, épidotisation, hématisation et altération potassique.

Plusieurs dykes intermédiaires altérés (silicification/carbonatation/hématisation) de type monzodiorite-granodiorite recoupent l'encaissant méta-volcanique sur 1,5 à 15 m.

Des stringers de pyrite-pyrrhotite ± magnétite affectent les amphibolites sur environ 75 cm à une profondeur de 229 m.

### *7.2.2 Traitement, analyse et sécurité des échantillons*

Les intervalles à échantillonner ont été mesurés et identifiés à l'aide d'étiquettes numérotées. Par la suite, la carotte a été sciée dans la longueur en deux parties égales. Une moitié a été envoyée au Laboratoire Expert de Rouyn-Noranda, l'autre moitié a été conservée par Globex à titre de témoin. Les échantillons ont tous été analysés pour l'or par pyro-analyse avec absorption atomique. Les échantillons supérieurs à 1 ppm Au ont ensuite fait l'objet d'une ré-analyse gravimétrique. Les échantillons provenant de zones de stringers et de sulfures massifs ont en plus été analysés pour l'argent, le cuivre, et le zinc.

Un total de 124 échantillons, totalisant 118,75 m de carotte, a été prélevé au cours de la campagne de forage 2015. À ce nombre s'ajoutent 19 échantillons de contrôle QAQC (standards, blancs et doublons), introduits de façon aléatoire dans la séquence en plus de ceux utilisés par le laboratoire.

### *7.2.3 Résultats d'analyses en laboratoire*

Le tableau 2 présente les meilleures teneurs en cuivre et zinc retournées des analyses en laboratoire. Aucune valeur significative de cuivre et zinc n'a été obtenue lors des analyses des échantillons de la campagne 2015.

## Entreprises Minières Globex Inc.

Le tableau 3 présente quant à lui les meilleures intersections en or et argent de la campagne de forage 2015. Une teneur de 1663 ppb Au a été obtenue sur un échantillon provenant d'une veine de quartz faiblement pyritisée dans les amphibolites. Une réanalyse gravimétrique de cet échantillon a retourné 0,75 g/t.

Les certificats d'analyses sont présentés à l'Annexe III de ce rapport.

Tableau 2 : Meilleures intersections en cuivre et zinc de la campagne de forage 2015.

Sondage	De (m) :	À (m) :	Cu (%)	Zn (%)	Longueur (m)
DUV-15-01	135,74	136,24	0,034	0,040	0,50
DUV-15-01	227,2	227,7	0,039	0,022	0,50
DUV-15-02	228,38	229,15	0,032	0,003	0,77

Tableau 3 : Meilleures intersections en or et argent de la campagne de forage 2015

Sondage	De (m) :	À (m) :	Au (g/t)	Ag (ppm)	Longueur (m)
DUV-15-01	225,2	226,2	0,75	0,4	1,00
DUV-15-01	135,74	136,24	<5	1,6	0,50

L'étude des graphiques QAQC, disponibles en Annexe IV, démontre la fiabilité des analyses effectuées au laboratoire. Les analyses effectuées sur les « Blanks » ont retourné, pour les différents métaux testés, des teneurs négligeables qui traduisent une absence de contamination lors de la manipulation des échantillons.

## 8 INTERPRÉTATIONS

La section montrant les deux sondages de la campagne 2015 est présentée en figure 7. Sur celle-ci, il apparaît que les stringers de pyrite-pyrrhotite-magnétite recoupés entre 228 et 236 m par le sondage

## **NUMÉRIQUE**

Page(s) de dimension(s) hors standard numérisée(s) et positionnée(s) à la suite des présentes pages standard

## **DIGITAL FORMAT**

Non-standard size page(s) scanned and placed after these standard pages

DUV-15-02 se situent verticalement (-80°) sous les zones de sulfures observées entre 136 et 141 m sur le sondage DUV-15-01, dont ils semblent être la continuité en profondeur.

Cependant, la rhyolite décrite à 135 m de profondeur dans le premier sondage n'a pas été recoupée par le second. La présence d'un dyke de diorite dans le sondage DUV-15-02 pourrait expliquer que la rhyolite n'ait pas été observée ici. Or c'est cette rhyolite qui contient la minéralisation en sulfures massifs (pyrite – pyrrhotite) observée dans le sondage DUV-15-01 (135,74 – 136,14 m). Aussi, cet horizon de sulfures semi-massifs se prolonge possiblement en profondeur sous les sondages DUV-15-01 et DUV-15-02, de l'autre côté du dyke de diorite. Par ailleurs, bien que les analyses n'aient pas révélé de teneurs en cuivre et zinc dans la zone de sulfures massifs recoupée par DUV-15-01, il est possible qu'une zone enrichie en ces éléments soit présente plus en profondeur, en continuité de l'horizon stratigraphique associé à la mine Duvan.

## 9 CONCLUSION ET RECOMMANDATIONS

Les travaux de géophysique et de forage réalisés en 2015 sur la propriété Duvan Copper ont permis de mettre en évidence la continuité de la zone minéralisée de la mine Duvan, 100 m au sud-est de la mine. Le sondage DUV-15-01 a recoupé des sulfures massifs sur 40 cm dans une rhyolite, à environ 100 m de profondeur verticale. Malheureusement, les sulfures contenus à l'intérieur de cette lentille sont essentiellement représentés par la pyrite et la pyrrhotite, et les teneurs en cuivre et zinc retournées des analyses sont inférieures à 0,1 %.

Le sondage DUV-15-02 n'a pas recoupé l'extension en profondeur de la zone minéralisée de DUV-15-01. Les interprétations en section suggèrent que la présence d'un dyke intermédiaire affecte la rhyolite minéralisée, masquant celle-ci à l'endroit où le sondage aurait dû la recouper. Ceci insinue que le système minéralisé se poursuit possiblement en profondeur sous le sondage DUV-15-02.

Les prochains travaux d'exploration dans ce secteur pourraient consister en un sondage effectué sous DUV-15-02, dans le but de vérifier la continuité de la rhyolite minéralisée en-dessous du dyke, et en visant un possible enrichissement en cuivre et zinc.



Benjamin Mougin, *géo.*

**10 BIBLIOGRAPHIE**

- Bonneau, R.M., 1992. Minéralisation cuprifère dans le Groupe archéen de Hunter Mine : exemple de l'indice Richard et de la mine Lyndhurst, région de Rouyn-Noranda, Abitibi, Québec. Mémoire de maîtrise, Université Laval, Québec, 88 pages.
- Corfu, F., Krogh, T.E., Kwok, Y.Y., and Jensen, L.S., 1989. U/Pb zircon geochronology southwestern Abitibi greenstone belt, Superior province. *Canadian Journal of Earth Sciences*, 26: 1747-1763.
- Dimroth, E. et Rocheleau, M., 1979. Volcanologie et sédimentologie dans la région de Rouyn-Noranda, Québec. Congrès de l'Association géologique du Canada, Québec ; Livret-guide, Excursion A-1.
- Dimroth, E., Imreh, L., Rocheleau, M., and Goulet, N., 1982. Evolution of the south-central part of the Archean Abitibi Belt, Quebec. Part 1: Stratigraphy and paleogeographic model. *Canadian Journal of Earth Sciences*, 19: 1729-1758.
- Dostal, J., Mueller, W.U., 1997. Komatiitic flooding of a rifted Archean rhyolitic arc complex : Geochemical signature and tectonic significance of the Stoughton-Roquemaure Group, Abitibi greenstone belt, Canada. *Journal of Geology*, 105, 545-563.
- Eakins, P.R., 1972. Canton de Roquemaure, comté d'Abitibi-Ouest. Ministère des Richesses Naturelles, Rapport Géologique 150.
- Garant, M., Mougin, B., Riopel, P., 2015. Rapport sur la campagne de cartographie de 2014 - Propriété Duvan, Cantons de La Reine/Desméloizes, NTS 32D14.
- Hocq, M., 1990. Carte lithotectonique des sousprovinces de l'Abitibi et de Pontiac. Ministère de l'Énergie et des Ressources, Québec, DV 89-04.

- Labbé, J.Y., 1994. Évolution des failles de la sous-province de l'Abitibi : exemple des discontinuités structurales de Lyndhurst et Macamic, Québec. Thèse de doctorat, Université du Québec à Chicoutimi, 271 pages.**
- Lacroix, S. 1995. Synthèse structurale et des plutons du secteur à l'ouest de La Sarre. Ministère des Ressources Naturelles, Québec, MB 95-39.**
- Lacroix, S., and Sawyer, E.W., 1995. An Archean fold-thrust in the southern Abitibi Greenstone Belt: structural and seismic evidence. Canadian Journal of Earth Sciences, 32: 97-112.**
- Lafrance, B., 2003. Reconstitution d'un environnement de sulfures massifs volcanogènes déformé : exemple archéen de Normétal, Abitibi. Thèse de doctorat, Université du Québec à Chicoutimi, 382 pages.**
- Lambert, G., 2015. Report on Phase-Domain Induced Polarization survey, Duvan Property, Desméloizes Township.**
- Long, G., 1991. Minorca Ressources Ltd. Report on the geological mapping and stripping program, Santa Anna property, La Reine township, Québec, NTS : 32D/14**
- Mougin, B., 2015. Rapport sur la campagne de cartographie de terrain de l'été 2015 – Propriété Duvan, Cantons de La Reine/Desméloizes, NTS 32D14. Rapport interne.**
- Mortensen, J.K., 1993. U/Pb geochronology of the eastern Abitibi subprovince. Part 2: Noranda-Kirkland Lake area. Canadian Journal of Earth Sciences, 30: 29-41.**
- Roger, G., 1992. Explorations Noranda Limitée. Rapport sur les travaux d'exploration effectués en 1992 : Propriété Duvan Copper, cantons de DesMéloizes et de LaReine, région de LaSarre. GM 51666.**

**Tremblay, A., Maisonneuve, S., et Lacroix, S., 1996. Contexte lithologique et structural des gîtes de Duvan et de DuReine, région de La Sarre, Abitibi, Québec. MB 96-36.**

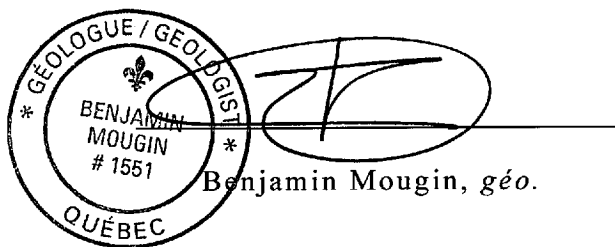
**Zhang, Q., Machado, N., Ludden, J.N., and Moore, D., 1993. Geotectonic constraints from U-Pb ages for the Blake River Group, the Kinojevis Group and the Normetal mine area, Abitibi, Quebec. GAC-MAC Annual Meeting, Program and Abstracts, p. A114.**

**11 CERTIFICAT DE QUALIFICATION**

Je soussigné, Benjamin Mougin, domicilié au 349 Avenue Soucie, Rouyn-Noranda, Québec, J9X 6R4, certifie par la présente que :

- Je suis diplômé de l'UQAM depuis 2010 (DESS en Exploration et Gestion des Ressources non Renouvelables)
- Je suis diplômé de l'Université des Sciences d'Orléans depuis 2010 (Master Professionnel en Ressources Minérales et Géodynamique)
- Je suis membre en règle de l'Ordre des Géologues du Québec depuis juillet 2010
- J'ai travaillé sans interruption dans la Sous-Province de l'Abitibi comme géologue stagiaire, puis géologue, depuis Juin 2010
- Je suis employé par Entreprises minières Globex inc. depuis août 2012
- J'ai participé aux travaux reliés à ce rapport. Ce rapport est fondé sur mon expérience, sur une étude des rapports de travaux et des données disponibles ainsi que sur les travaux que j'y ai effectués

EN FOI DE QUOI, je signe à Rouyn-Noranda, ce 8 Février 2016



**Annexe I**  
*Liste des titres miniers*

CLAIM	FEUILLET	RANG	LOT	SUPERFICIE	STATUT	DETENTEUR	EXPIRATION
CDC 2074839	32D14	2	26	42.51	Active	Entreprises Minières Globex Inc	10/04/2017
CDC 2093350	32D14	2	27	42.51	Active	Entreprises Minières Globex Inc	18/06/2017
CDC 2093351	32D14	3	25	42.48	Active	Entreprises Minières Globex Inc	18/06/2017
CDC 2366742	32D14	2	25	42.51	Active	Entreprises Minières Globex Inc	21/10/2016
CDC 2408607	32D14	2	28	42.51	Active	Pierre Riopel	28/07/2016
CDC 2408608	32D14	2	29	42.51	Active	Pierre Riopel	28/07/2016
CDC 2408609	32D14	3	26	42.48	Active	Pierre Riopel	28/07/2016
CDC 2408610	32D14	3	27	42.48	Active	Pierre Riopel	28/07/2016
CDC 2409214	32D14	10	37	38.6	Active	Pierre Riopel	30/07/2016
CDC 2409215	32D14	10	38	38.45	Active	Pierre Riopel	30/07/2016
CDC 2420572	32D14			37.64	Active	Pierre Riopel	28/12/2016
CDC 2420573	32D14			49.24	Active	Pierre Riopel	28/12/2016
CDC 2420574	32D14	2	30	42.51	Active	Pierre Riopel	28/12/2016
CDC 2420575	32D14	2	31	42.51	Active	Pierre Riopel	28/12/2016
CDC 2420576	32D14	2	32	42.45	Active	Pierre Riopel	28/12/2016
CDC 2420577	32D14	2	33	42.47	Active	Pierre Riopel	28/12/2016
CDC 2420578	32D14	3	28	42.47	Active	Pierre Riopel	28/12/2016
CDC 2420579	32D14	3	29	42.47	Active	Pierre Riopel	28/12/2016
CDC 2421148	32D14	1	33	42.51	Active	Géoconseils Jack Stoch Limitée	11/01/2017
CDC 2421149	32D14	1	34	42.51	Active	Géoconseils Jack Stoch Limitée	11/01/2017
CDC 2421150	32D14	1	28	42.51	Active	Pierre Riopel	11/01/2017
CDC 2421151	32D14	1	29	42.51	Active	Pierre Riopel	11/01/2017
CDC 2421152	32D14	1	30	42.51	Active	Pierre Riopel	11/01/2017
CDC 2421153	32D14	1	31	42.51	Active	Pierre Riopel	11/01/2017
CDC 2421154	32D14	1	36	42.5	Active	Pierre Riopel	11/01/2017
CDC 2421155	32D14	1	37	42.5	Active	Pierre Riopel	11/01/2017
CDC 2421156	32D14	1	38	42.44	Active	Pierre Riopel	11/01/2017
CDC 2421157	32D14	10	34	38.4	Active	Pierre Riopel	11/01/2017
CDC 2421158	32D14	10	35	38.54	Active	Pierre Riopel	11/01/2017
CDC 2421159	32D14	10	36	38.32	Active	Pierre Riopel	11/01/2017
CDC 2421578	32D14	1	32	42.51	Active	Entreprises Minières Globex Inc	13/01/2017
CDC 2425829	32D14	1	35	42.51	Active	Pierre Riopel	24/03/2017

Total : 1341.58

**Annexe II**  
*Journaux de sondages*

## Globex Mining Enterprises inc.

<b>DDH:</b>	<b>DUV-15-01</b>	Claims title:	2093350	Section:	
		Township:	La Reine	Level:	Surface
		Range:	2	Work place:	Rouyn-Noranda
Contractor:	Forage Hébert	Lot:	27		
Author:	Benjamin Mougín	Start date:	14/12/2015	Description date:	18/12/2015
		End date:	16/12/2015		

**Collar**

	NAD83
Azimuth: 245.0°	East 615456.00
Dip: -60.00°	North 5416339.00
Length: 234.00	Elevation 336.00

**Averages - Composites**

Zone	From	To	Au (ppb)	Au (g/t)	Ag (ppm)	Cu (ppm)	Zn (ppm)	
#1	135.74	136.24	0	err	1.6	341	401	
#3	225.20	226.20	1663	0.75	0.4	35	39	
#2	227.20	227.70	199	err	1.0	393	223	

Number of samples:	47
Number of QAQC samples:	9
Total sampled length:	42.65

**Description:**

Core size: NQ core

Cemented: No

Stored: No

## Globex Mining Enterprises inc.

<b>DDH:</b>	<b>DUV-15-01</b>	Claims title:	2093350	Section:	
		Township:	La Reine	Level:	Surface
		Range:	2	Work place:	Rouyn-Noranda
Contractor:	Forage Hébert	Lot:	27		
Author:	Benjamin Mougín	Start date:	14/12/2015	Description date:	18/12/2015
		End date:	16/12/2015		

**Collar**

	NAD83
Azimuth: 245.0°	East 615456.00
Dip: -60.00°	North 5416339.00
Length: 234.00	Elevation 336.00

**Down hole survey**

Type	Depth	Azimuth	Dip	Invalid	Description
Reflex EZ-Shot	18.00	242.0°	-59.5°	No	
Reflex EZ-Shot	48.00	237.0°	-58.7°	No	
Reflex EZ-Shot	78.00	229.4°	-58.0°	No	
Reflex EZ-Shot	108.00	229.3°	-57.5°	No	
Reflex EZ-Shot	138.00	236.7°	-56.8°	No	
Reflex EZ-Shot	168.00	235.0°	-56.4°	No	
Reflex EZ-Shot	198.00	234.3°	-55.7°	No	
Reflex EZ-Shot	234.00	234.6°	-55.2°	No	

**Description:**

Core size: NQ core

Cemented: No

Stored: No

Globex Mining Enterprises inc.

Description			Assay							
			From	To	Sample...	Length	Au (ppb)	Au (g/t)	Ag (ppm)	Cu (ppm)
0.00	1.50	MO Over Burden								
1.50	129.33	M16 Amphibolite - Roche volcanique mafique à grain fin, couleur sombre, chloritisée, riche en amphiboles (amphibolite) - Foliation bien marquée et régulière - Texture variolaire entre 12 et 24m et entre 45 et 63m - Dyke mafique à grain moyen-fin entre 69.55 et 72.6m - Déformation et 1-2% quartz entre 75 et 78m - Plusieurs marqueurs de plissement visibles dans la foliation localement - Des textures coussinées semblent avoir été observées autour de 96-97m - Dyke intermédiaire à grain fin et 2% porphyres de feldspaths entre 98.37 et 98.85m - Pyrite observée en traces ou jusqu'à 5% au voisinage de veines de quartz : - 40.75m : veine de quartz gris de 2cm NW-SE subverticale, pyrite disséminée								

Globex Mining Enterprises inc.

Description	Assay								
	From	To	Sample...	Length	Au (ppb)	Au (g/t)	Ag (ppm)	Cu (ppm)	Zn (ppm)
<p>dans l'encaissant sur 1 à 2cm des bordures de la veine</p> <ul style="list-style-type: none"> <li>- 59.55m : 1 stringer de pyrite semi-massive subparallèle à la foliation, légèrement déformé</li> <li>- 67.2-67.8m : 5% quartz gris boudiné // foliation + 1 veinule hématisée sécante à S1(veinule = NW-SE avec pendage fort vers l'est), py automorphe disséminée dans le quartz et dans l'encaissant, &lt;1% en moyenne sur l'intervalle</li> <li>- 81-81.25m : veinule de qz-carb avec altération potassique, fine pyrite automorphe et pyrite grossière en amas autour de la veine</li> </ul> <p>- Probable contact entre deux coulées de basaltes à 127.87m. La coulée inférieure est de couleur plus grisâtre et est injectée de 3-5% veines de quartz // foliation</p> <ul style="list-style-type: none"> <li>- Indices de plissements observés vers 128.4m</li> <li>- Dyke de diorite silicifiée entre 128.65 et 129m</li> </ul>									
<p>1.50    15.00    FOL                   Foliated 25°</p>									
<p>15.00    35.00    FOL</p>									

Globex Mining Enterprises inc.

Description			Assay							
			From	To	Sample...	Length	Au (ppb)	Au (g/t)	Ag (ppm)	Cu (ppm)
		Foliated 35°								
35.00	55.00	FOL Foliated 40°								
			39.35	40.35	D109455	1.00	11			
			40.35	40.85	D109456	0.50	16			
			40.85	41.85	D109457	1.00	<5			
55.00	75.00	FOL Foliated 45°								
			65.00	66.00	D109458	1.00	32			
			66.00	67.00	D109459	1.00	<5			
			67.00	68.00	D109460	1.00	15			
67.20	67.80	Py01 Pyrite 1%								
			68.00	69.00	D109461	1.00	6			
69.55	72.60	I3 Mafic intrusion								
75.00	90.00	FOL Foliated 65°								
			79.85	80.85	D109462	1.00	<5			
			80.85	81.35	D109463	0.50	<5			
81.00	81.25	Py03 Pyrite 3%								
			81.35	82.35	D109464	1.00	11			
90.00	110.00	FOL								

Globex Mining Enterprises inc.

Description			Assay								
			From	To	Sample...	Length	Au (ppb)	Au (g/t)	Ag (ppm)	Cu (ppm)	Zn (ppm)
Foliated 40°											
98.36	98.85	I2 Intermediate intrusion 55° - Porphyre feldspathique de couleur grise - Grain fin, 2-3% porphyres de feldspaths blancs									
110.00	125.00	FOL Foliated 45°									
125.00	129.33	FOL Foliated 55°									
			125.85	126.85	D109401	1.00	<5		<0.2	51	16
126.00	133.23	Chl Chloritisation									
			126.85	127.87	D109402	1.02	6		<0.2	52	15
			127.87	128.65	D109403	0.78	5		0.3	41	27
128.65	129.00	I2J Diorite 50°	128.65	129.33	D109404	0.68	<5		1.2	40	22
129.33	133.23	M16; SS; MAG Amphibolite; Sulphide stringers; Magnetic - Basaltes chloritisés et minéralisés - 5-10% stringers essentiellement pyrite jaune à blanche ; env 3% magnétite massive en nodules	129.33	130.13	D109405	0.80	<5		0.5	77	19

Globex Mining Enterprises inc.

Description		Assay								
		From	To	Sample...	Length	Au (ppb)	Au (g/t)	Ag (ppm)	Cu (ppm)	Zn (ppm)
	accompagnant les stringers de pyrite. Traces de sphalérite vers 131m (odeur caractéristique à HCl).									
129.33	134.89 FOL Foliated 45°									
129.33	133.23 Py08; Mt03 Pyrite 8%; Magnetite 3%									
		130.13	131.13	D109406	1.00	11		0.3	115	23
		131.13	132.23	D109407	1.10	<5		0.3	106	19
		132.23	133.23	D109409	1.00	11		0.3	116	48
133.23	134.89 M16 Amphibolite - Grain fin, couleur gris sombre et verdâtre - Foliation légère, 45°CA	133.23	134.10	D109410	0.87	<5		0.2	43	37
		134.10	134.89	D109411	0.79	5		0.2	39	40
134.89	135.74 V1B Rhyolite 35° - Roche magmatique à grain fin, volcanique ou hypovolcanique (dyke) - Couleur grise, dureté assez forte, texture semble visqueuse - >30% quartz, 5-6% phénocristaux de biotite - Pas de foliation visible	134.89	135.74	D109412	0.85	<5		0.2	31	54
135.74	136.14 V1B; VMS; MAG Rhyolite; Massive sulphides;	135.74	136.24	D109413	0.50	<5		1.6	341	401

**Globex Mining Enterprises inc.**

Description		Assay								
		From	To	Sample...	Length	Au (ppb)	Au (g/t)	Ag (ppm)	Cu (ppm)	Zn (ppm)
<b>Magnetic</b> - 2 passées de sulfures massifs de 20cm et 10cm : la première passée montre environ 65% pyrrhotite et 35% pyrite ; la deuxième passée montre environ 75% pyrite et 25% pyrrhotite - Des stringers de Py-Po sont présents entre les deux passées VMS										
135.74	135.94	Po65; Py35 Pyrrhotite 65%; Pyrite 35%								
136.07	136.14	Py75; Po25 Pyrite 75%; Pyrrhotite 25%								
136.14	137.00	V1B; SS; MAG Rhyolite; Sulphide stringers; Magnetic - Env 5% de stringers de pyrite-magnétite (env 60% Py - 40% Mt) - Silicification								
136.14	137.00	Py05; Mt03 Pyrite 5%; Magnetite 3%								
	136.24	137.00	D109415	0.76	5		0.5	100	29	
137.00	137.45	M16; SS; MAG; MAG; BRU Amphibolite 40°; Sulphide	137.00	137.50	D109417	0.50	8	0.5	184	71

Globex Mining Enterprises inc.

Description	Assay								
	From	To	Sample...	Length	Au (ppb)	Au (g/t)	Ag (ppm)	Cu (ppm)	Zn (ppm)
<p>stringers; Magnetic; Magnetic; Breccia undiff - Basaltes chloritisés et bréchifiés - 5% py et 1% Mt en stringers - Foliation plissée, env 35-40°CA</p> <p>137.00 147.25 FOL Foliated 40°</p> <p>137.00 137.45 Py05; Mt01 Pyrite 5%; Magnetite 1%</p>									
<p>137.45 140.97 M16; SS; MAG Amphibolite; Sulphide stringers; Magnetic - Basaltes chloritisés à grain fin - 2-3% stringers de pyrite-magnétite (environ 2% pyrite et &lt;1% magnétite sur l'intervalle) - Foliation régulière à 40°CA - Possibles grenats rougeâtres observés autour de la minéralisation entre 139 et 141m - On observe sur cet intervalle des alternances de bandes d'amphibolite chloritisée avec des bandes de couleur grisâtre, de dureté similaire, présentant une altération à leucoxène (15-20% leucoxène) : effets d'altération différentielle ou fragments de dyke boudinés?</p>									

Globex Mining Enterprises inc.

Description			Assay								
			From	To	Sample...	Length	Au (ppb)	Au (g/t)	Ag (ppm)	Cu (ppm)	Zn (ppm)
- Après sciage, il apparait clairement sur cet intervalle que la foliation est affectée de plissements											
137.45	140.97	Chl Chloritisation									
137.45	140.97	Py02; Mt01 Pyrite 2%; Magnetite 1%									
			137.50	138.25	D109418	0.75	115		0.3	77	35
			138.25	139.00	D109419	0.75	8		0.2	87	29
			139.00	140.00	D109420	1.00	6		0.4	138	72
			140.00	140.97	D109421	0.97	<5		0.3	85	49
140.97	167.00	M16 Amphibolite	140.97	142.00	D109422	1.03	<5		<0.2	44	29
- Basaltes altérés à grain fin											
- Chloritisation + carbonatisation ±hématisation											
- Roche fracturée et injectée de fines veinules de qz-cc hématisées rougeâtres (env 5 à 10%)											
- Aspect bréchique (brèche de coulée?) à 146.7m											
- Gouge de faille sur 10cm à 147.25m, suivie de quartz bréchifié sur 15cm avec 2% Py en bordure de veines											
140.97	146.77	Chl; Hem; Car Chloritisation;									

Globex Mining Enterprises inc.

Description	Assay								
	From	To	Sample...	Length	Au (ppb)	Au (g/t)	Ag (ppm)	Cu (ppm)	Zn (ppm)
Hematisation; Carbonatisation	142.00	143.00	D109423	1.00	5		<0.2	41	33
	143.00	144.00	D109424	1.00	<5		0.3	30	30
	144.00	145.00	D109465	1.00	<5				
	145.00	146.00	D109466	1.00	<5				
	146.00	147.00	D109467	1.00	<5				
	147.00	148.00	D109469	1.00	<5				
	147.25 147.35 FAI Fault 40°								
147.35 190.00 FOL Foliated 40°									
148.80 150.05 I2 Intermediate intrusion 35° - Dyke à grain fin altéré de couleur rougeâtre (hématisation) - Riche en plagios, 3% porphyres mafiques chloritisés, traces de pyrite	148.00	149.00	D109470	1.00	<5				
148.80 150.05 Hem Hematisation									
159.80 160.35 I2 Intermediate intrusion - Dyke de diorite hématisée à grain moyen									

**Globex Mining Enterprises inc.**

Description			Assay							
			From	To	Sample...	Length	Au (ppb)	Au (g/t)	Ag (ppm)	Cu (ppm)
167.00	227.20	M16 Amphibolite - Roche métavolcanique à grain fin de couleur sombre - Composition de basalte, très riche en amphibole noire (hornblende) - Foliation régulière 40 à 45°CA - Passée hématisée et silicifiée avec veine de quartz hématisée et bréchifiée subhorizontale, fine pyrite concentrée sur les bordures chloritisées de la veine - Présence de grenats rosés à partir de 221.5m, jusqu'à 6-8% vers 229m - Veines de quartz subhorizontales (angle 30°CA opposé à la foliation) de 10 à 15cm avec traces à 1% py en bordure à 177m, 187.5m, et 205m								
			185.00	186.00	D109471	1.00	<5			
			186.00	187.00	D109472	1.00	<5			
			187.00	188.00	D109473	1.00	7			
			188.00	189.00	D109475	1.00	<5			
190.00	216.00	FOL Foliated 35°								
216.00	227.20	FOL Foliated 45°								

Globex Mining Enterprises inc.

Description		Assay									
		From	To	Sample...	Length	Au (ppb)	Au (g/t)	Ag (ppm)	Cu (ppm)	Zn (ppm)	
227.20	227.70	M16; SS; MAG Amphibolite; Sulphide stringers; Magnetic - 5-8% pyrite ±Mt et Cpy en stringers ; la pyrite est jaune claire alors que la chalcopryrite est jaune plus foncé - Magnétisme faible	224.20	225.20	D109425	1.00	17		<0.2	54	46
			225.20	226.20	D109426	1.00	1663	0.75	0.4	35	39
			226.20	227.20	D109427	1.00	60		<0.2	37	47
			227.20	227.70	D109428	0.50	199		1.0	393	223
227.20	234.00	FOL Foliated 40°									
227.20	227.70	Py03; Cptr; Mt<1 Pyrite 3%; Chalcopryrite tr; Magnetite <1									
227.70	234.00	M16 Amphibolite - Roche métavolcanique à grain fin de couleur sombre, riche en amphibole noire (hornblende) - Présence de grenats rosés, jusqu'à 6-8% vers 229m - Foliation régulière 40°CA, montrant localement des plissements	227.70	228.70	D109431	1.00	43		0.3	118	44
			228.70	229.70	D109433	1.00	124		<0.2	49	24
			229.70	230.70	D109434	1.00	19		0.2	48	32

## Globex Mining Enterprises inc.

<b>DDH:</b> DUV-15-02	Claims title: 2093350	Section:
	Township: La Reine	Level: Surface
	Range: 2	Work place: Rouyn-Noranda
Contractor: Forage Hébert	Lot: 27	
Author: Benjamin Mougín	Start date: 16/12/2015	Description date: 18/12/2015
	End date: 18/12/2015	

**Collar**

	NAD83
Azimuth: 270.0°	East 615456.00
Dip: -70.00°	North 5416339.00
Length: 293.65	Elevation 336.00

**Averages - Composites**

Zone	From	To	Au (ppb)	Au (g/t)	Ag (ppm)	Cu (ppm)	Zn (ppm)	
#1	228.38	229.15	19	err	0.5	315	28	

Number of samples:	77
Number of QAQC samples:	10
Total sampled length:	76.10

**Description:**

Core size: NQ Core

Cemented: No

Stored: No

## Globex Mining Enterprises inc.

<b>DDH:</b> DUV-15-02	Claims title: 2093350	Section: Surface
	Township: La Reine	Level: Surface
	Range: 2	Work place: Rouyn-Noranda
Contractor: Forage Hébert	Lot: 27	
Author: Benjamin Mougín	Start date: 16/12/2015	Description date: 18/12/2015
	End date: 18/12/2015	

**Collar**

	NAD83
Azimuth: 270.0°	East 615456.00
Dip: -70.00°	North 5416339.00
Length: 293.65	Elevation 336.00

**Down hole survey**

Type	Depth	Azimuth	Dip	Invalid	Description
Reflex EZ-Shot	18.00	268.9°	-70.2°	No	
Reflex EZ-Shot	48.00	264.2°	-69.8°	No	
Reflex EZ-Shot	78.00	259.5°	-69.6°	No	
Reflex EZ-Shot	108.00	258.8°	-69.2°	No	
Reflex EZ-Shot	138.00	255.2°	-68.9°	No	
Reflex EZ-Shot	168.00	255.3°	-68.6°	No	
Reflex EZ-Shot	198.00	255.4°	-68.0°	No	
Reflex EZ-Shot	228.00	252.6°	-67.8°	No	
Reflex EZ-Shot	273.00	253.0°	-67.6°	No	
.....	.....	.....	.....	.....	.....

**Description:**

Core size: NQ Core

Cemented: No

Stored: No

Globex Mining Enterprises inc.

Description			Assay							
			From	To	Sample...	Length	Au (ppb)	Au (g/t)	Ag (ppm)	Cu (ppm)
0.00	1.50	MO Over Burden								
1.50	89.03	M16 Amphibolite - Roche volcanique mafique sombre à grain fin, riche en amphibole noire - Foliation assez bien marquée - Plusieurs occurrences de plissement visibles sur la foliation - Traces à 1% Py localement, associée généralement à des veines de quartz-carbonate // ou sécantes à la foliation ; Pyrite à 5.2-5.4m, 8.4m, 9-10m, 14.7m, 17.15m, 46.35m, 52.5-52.6m, 61.2-61.4m, 75.35-75.65m, 77-77.2m - Intrusif intermédiaire à porphyres de feldspaths à 1.8-2.5m et 2.9-3.55m - Veine de quartz blanc tardive 60°CA, légèrement sécante à la foliation entre 43.36 et 43.46m - Petit dyke de lamprophyre à 52m - Intrusif interm à mafique 55.25-56.17m, traces de pyrite - Intrusif intermédiaire 61.9-62.45m - Passée variolaire entre 81.5 et								

Globex Mining Enterprises inc.

Description			Assay								
			From	To	Sample...	Length	Au (ppb)	Au (g/t)	Ag (ppm)	Cu (ppm)	Zn (ppm)
85.5m env - Veine de quartz blanc // foliation entre 86.5 et 86.63m	1.50	40.00	FOL Foliated 20°								
1.80 2.50 I2 Intermediate intrusion 30° - Dyke intermédiaire de couleur grise, grain fin-moyen, riche en plagios, 10-15% biotite/amph, 5-10% porphyres feldspaths altérés rosés : Diorite - Foliation // amphibolites encaissantes											
2.90 3.55 I2 Intermediate intrusion 30° - Dyke intermédiaire de couleur grise, grain fin-moyen, riche en plagios, 10-15% biotite/amph, 5-10% porphyres feldspaths altérés rosés : Diorite - Foliation // amphibolites encaissantes											
	4.00	5.00	D109477	1.00	<5						
	5.00	6.00	D109478	1.00	<5						
	6.00	7.00	D109479	1.00	8						
	7.00	8.00	D109480	1.00	6						
	8.00	9.00	D109481	1.00	<5						

Globex Mining Enterprises inc.

Description			Assay								
			From	To	Sample...	Length	Au (ppb)	Au (g/t)	Ag (ppm)	Cu (ppm)	Zn (ppm)
40.00	89.03	FOL Foliated 30°	9.00	10.00	D109482	1.00	<5				
			10.00	11.00	D109483	1.00	<5				
55.25	56.17	I3 Mafic intrusion 50° - Dyke sombre à grain fin, riche en plagios et biotite/amphibole - Traces de pyrite disséminée	51.00	52.00	D109484	1.00	<5				
			52.00	53.00	D109485	1.00	<5				
			53.00	54.00	D109486	1.00	<5				
			59.90	60.90	D109487	1.00	6				
61.90	62.45	I2 Intermediate intrusion - Roche intrusive de couleur gris-beige, grain fin - 1 à 2% py automorphe disséminée dans le dyke à proximité des bordures	60.90	61.90	D109488	1.00	<5				
			61.90	62.90	D109490	1.00	<5				
			62.90	63.90	D109492	1.00	<5				
			74.00	75.00	D109494	1.00	7				
			75.00	76.00	D109495	1.00	<5				
			76.00	77.00	D109496	1.00	<5				
89.03	92.56	I2 Intermediate intrusion 50°	77.00	78.00	D109497	1.00	<5				
			78.00	79.00	D109498	1.00	<5				

Globex Mining Enterprises inc.

Description			Assay							
			From	To	Sample...	Length	Au (ppb)	Au (g/t)	Ag (ppm)	Cu (ppm)
89.03	92.56	<ul style="list-style-type: none"> <li>- Roche intrusive de couleur grise, silicifiée</li> <li>- Grain fin, riche en plagios, possible quartz, 5% porphyres de biotite/amphibole</li> <li>- Traces de pyrite</li> </ul> <p>Sil Silicification</p>								
92.56	202.45	<p>M16 Amphibolite 40°</p> <ul style="list-style-type: none"> <li>- Roche volcanique mafique riche en amphiboles</li> <li>- Couleur grise à teinte verdâtre (chloritisation)</li> <li>- Variolaire jusqu'à 96m</li> <li>- Foliation bien marquée, montre des plissements localement (94m, 145-185m)</li> <li>- Traces à 1% pyrite entre 103.65 et 104.45m en association avec des veinules de carbonates hématisées et déformées sécantes à la foliation</li> <li>- Veines de quartz de 1 à 5cm sécantes à la foliation (certaines semblent subhorizontales) présentant une altération rosée à orangée (potassique ou hématisation?), associées à traces à 2% Py localement (107m, 115m, 119m, 124m,</li> </ul>								

Globex Mining Enterprises inc.

Description		Assay								
		From	To	Sample...	Length	Au (ppb)	Au (g/t)	Ag (ppm)	Cu (ppm)	Zn (ppm)
138m, 148m, 153m, 156m, 161m, 181m, 184m, 193m - Zone plissée et altérée en chlorite et épidote entre 169 et 172m										
92.56	105.00	FOL Foliated 35°								
			102.50	103.50	D109499	1.00	<5			
			103.50	104.50	D109500	1.00	<5			
105.00	130.00	FOL Foliated 40°								
			122.50	123.50	D109351	1.00	<5			
			123.50	124.50	D109352	1.00	<5			
			124.50	125.50	D109353	1.00	<5			
130.00	145.00	FOL Foliated 25°								
145.00	150.00	FOL; FOD Foliated 10°; Folded								
150.00	168.00	FOL Foliated 30°								
			154.80	155.80	D109354	1.00	5			
			155.80	156.80	D109355	1.00	<5			
			156.80	157.80	D109356	1.00	<5			
168.00	171.00	FOL; FOD Foliated 15°; Folded								

Globex Mining Enterprises inc.

Description			Assay								
			From	To	Sample...	Length	Au (ppb)	Au (g/t)	Ag (ppm)	Cu (ppm)	Zn (ppm)
169.00	172.00	Epi Epidotisation									
171.00	215.00	FOL Foliated 25°									
			179.50	180.50	D109357	1.00	<5				
			180.50	181.50	D109358	1.00	<5				
			181.50	182.50	D109359	1.00	<5				
			182.50	183.50	D109360	1.00	5				
			183.50	184.50	D109361	1.00	<5				
			184.50	185.50	D109364	1.00	8				
			185.50	186.50	D109366	1.00	9				
			195.00	196.00	D109367	1.00	<5				
			196.00	197.00	D109368	1.00	8				
			197.00	198.00	D109369	1.00	<5				
			198.00	199.50	D109370	1.50	<5				
			199.50	201.00	D109371	1.50	<5				
			201.00	202.00	D109372	1.00	5				
			202.00	203.00	D109373	1.00	9				
202.45	216.00	I2J Diorite 30° - Roche grenue massive à grain moyen, contact net avec les amphibolites - Essentiellement composée de plagios + 5% phénocristaux de biotite faiblement chloritisés - Pas de foliation visible ou très faible localement - Roche faiblement silicifiée et									

Globex Mining Enterprises inc.

Description		Assay								
		From	To	Sample...	Length	Au (ppb)	Au (g/t)	Ag (ppm)	Cu (ppm)	Zn (ppm)
202.45	215.00	carbonatisée. Hématisation/altération potassique oranger à partir de 215m - Traces de pyrite automorphe Sil; Car Silicification; Carbonatation								
			203.00	204.00	D109374	1.00	12			
			210.00	211.00	D109375	1.00	<5			
			211.00	212.00	D109376	1.00	5			
			212.00	213.00	D109377	1.00	<5			
			213.00	214.00	D109378	1.00	5			
			214.00	215.00	D109379	1.00	9			
215.00	216.00	Sil; Hem Silicification; Hematisation	215.00	216.00	D109380	1.00	<5			
215.00	232.00	FOL Foliated 30°								
216.00	218.40	M16; I3 Amphibolite 70°; Mafic intrusion - Roche volcanique ou intrusive très sombre à grain fin-moyen, amphibolite altérée ou dyke mafique à grain fin - Aspect bréchifié avec fragments étirés de dyke intermédiaire hématisé	216.00	217.00	D109381	1.00	<5			

**Globex Mining Enterprises inc.**

Description	Assay								
	From	To	Sample...	Length	Au (ppb)	Au (g/t)	Ag (ppm)	Cu (ppm)	Zn (ppm)
- Foliation, 2% veinules de qz-calcite en tension // axe de la carotte - 1 à 2% pyrite disséminée entre 216 et 217m - Veine de quartz bréchifiée sur env 30cm à 217m - Fracturation forte entre 217.25 et 218m 216.00 217.00 Py02 Pyrite 2%									
	217.00	218.00	D109382	1.00	<5				
	218.00	219.00	D109383	1.00	5				
218.40 220.35 I2; I2J Intermediate intrusion 10°; Diorite - Dyke altéré de couleur grise à rougeâtre à grain fin, composition semblable à la roche décrite entre 202 et 216m mais grain semble plus fin - Roche riche en plagios et quartz, 3% porphyres de biotite - Contact à faible angle avec les basaltes - Carbonatisation, hématisation 218.40 220.35 Hem; Car Hematisation; Carbonatisation									
	219.00	220.00	D109384	1.00	<5				

Globex Mining Enterprises inc.

Description		Assay								
		From	To	Sample...	Length	Au (ppb)	Au (g/t)	Ag (ppm)	Cu (ppm)	Zn (ppm)
220.35	228.38	V3B; M16 Basalt 10°; Amphibolite - Méta-volcanite mafique riche en amphiboles - Grain fin, couleur sombre et verdâtre (chloritisation) - Foliation régulière 30°CA - Traces de pyrite - Intrusif intermédiaire hématisé entre 223.3 et 223.65m								
220.35	228.38	Chl Chloritisation								
223.30	223.65	I2 Intermediate intrusion 10°								
			225.40	226.40	D109435	1.00	12	0.2	103	11
			226.40	227.40	D109436	1.00	5	<0.2	77	13
			227.40	228.38	D109437	0.98	<5	<0.2	60	25
228.38	229.15	M16; SS; MAG Amphibolite; Sulphide stringers; Magnetic - Passée minéralisée des amphibolites - 10-12% stringers de pyrite-pyrrhotite ±magnétite - Env 8% Py sur l'intervalle, 3% Po et <1% Mt - Les stringers sont // foliation (30°CA), et semblent affectés de plissements - 1-2% quartz gris	228.38	229.15	D109438	0.77	19	0.5	315	28

Globex Mining Enterprises inc.

Description		Assay								
		From	To	Sample...	Length	Au (ppb)	Au (g/t)	Ag (ppm)	Cu (ppm)	Zn (ppm)
228.38	229.15	Chl; Sil Chloritisation; Silicification								
228.38	229.15	Py08; Po03; Mt<1 Pyrite 8%; Pyrrhotite 3%; Magnetite <1								
229.15	233.20	I2 Intermediate intrusion - Roche magmatique altérée de couleur marron clair (carbonatisation) - Grain fin, riche en plagios, contient probablement du quartz - 1-2% phénocristaux mafiques chloritisés - Passée d'amphibolite silicifiée et minéralisée 3-4% stringers Py-Mt entre 229.8 et 230m - Roche devient bloqueuse à partir de 232m	229.15	230.00	D109440	0.85	13	0.2	47	38
229.75	230.00	M16 Amphibolite								
229.80	230.00	Sil Silicification								
229.80	230.00	Py03; Mt<1 Pyrite 3%; Magnetite <1								

Globex Mining Enterprises inc.

Description	Assay								
	From	To	Sample...	Length	Au (ppb)	Au (g/t)	Ag (ppm)	Cu (ppm)	Zn (ppm)
232.00 237.15 FRC Fractured	230.00	231.00	D109442	1.00	5		<0.2	21	24
	231.00	232.00	D109443	1.00	<5		0.3	18	24
	232.00	233.20	D109444	1.20	38		0.2	18	23
233.20 234.67 M16 Amphibolite - Métavolcanite mafique de couleur sombre, chloritisée, grain fin - Aspect bloqueux, foliation à 25°CA	233.20	234.00	D109445	0.80	17		<0.2	60	32
234.67 236.50 M16; SS Amphibolite; Sulphide stringers - 2-3% stringers de pyrite - Léger mag local, probable faible pyrrhotite - Jusqu'à 10% grenats rosés à rougeâtres vers 236m - La foliation semble plissée, 15-20°CA	234.00	234.67	D109446	0.67	<5		<0.2	35	28
	234.67	235.50	D109447	0.83	<5		<0.2	60	34
234.67 236.50 Py03; Potr Pyrite 3%; Pyrrhotite tr									
236.50 237.15 M16 Amphibolite	235.50	236.50	D109448	1.00	7		0.3	72	36
	236.50	237.50	D109450	1.00	<5		<0.2	54	56
237.15 238.65 I2 Intermediate intrusion 30°									

Globex Mining Enterprises inc.

Description	Assay								
	From	To	Sample...	Length	Au (ppb)	Au (g/t)	Ag (ppm)	Cu (ppm)	Zn (ppm)
- Intrusif à grain fin riche en plagios, probable quartz, 2% phénocristaux mafiques - Altéré de couleur beige à rougeâtre - Aspect bloqueux - Foliation à 30°CA 237.15 238.65 FOL Foliated 30°	237.50	238.50	D109451	1.00	34		<0.2	19	25
	238.50	239.50	D109452	1.00	<5		<0.2	21	18
238.65 293.65 M16 Amphibolite 40° - Amphibolites altérées, présentant une variation de couleur selon le type d'altération : grise, beige (carbonatisation/séricitisation), verte (chlorite/épidote), orange (hématisation/altération potassique) - Foliation bien marquée et régulière à 30-35°CA - Traces de pyrite - 2 petits dykes de porphyre feldspathique à 283 et 289m 238.65 255.00 FOL Foliated 35°	239.50	240.00	D109453	0.50	<5		<0.2	77	15
	240.00	241.00	D109454	1.00	<5		<0.2	122	30

Globex Mining Enterprises inc.

Description	Assay								
	From	To	Sample...	Length	Au (ppb)	Au (g/t)	Ag (ppm)	Cu (ppm)	Zn (ppm)
255.00 293.65 FOL Foliated 30°									
	263.50	264.50	D109385	1.00	7				
	264.50	265.50	D109386	1.00	<5				
	265.50	266.50	D109388	1.00	<5				
	266.50	267.30	D109389	0.80	<5				
	267.30	268.00	D109390	0.70	<5				
	268.00	269.00	D109391	1.00	10				
	269.00	270.00	D109392	1.00	<5				
	270.00	271.00	D109393	1.00	<5				

**Annexe III**

*Cerftificats d'analyse en laboratoire*

**\*\*\* Certificat d'analyses \*\*\***

**Laboratoire Expert Inc.**

127, Boulevard Industriel  
Rouyn-Noranda, Québec  
Canada, J9X 6P2  
Téléphone : (819) 762-7100, Télécopieur : (819) 762-7510

Date : 2016/01/19

Page : 1 de 6

Client : <b>Globex Mining Enterprises Inc.</b>	
Destinataire : <b>Benjamin Mougín</b>	Dossier : <b>44299</b>
	Votre no. commande :
	Projet : <b>DUVAN COPPER</b>
	Nombre total d'échantillons : <b>54</b>

Identification	Au FA-GEO ppb 5	Au-Dup FA-GEO ppb 5	Au-Dup-2 FA-GEO ppb 5	Au-Dup-3 FA-GEO ppb 5	Au FA-GRAV g/t 0.03	Ag AAT-7 ppm 0.2	Ag-Dup AAT-7 ppm 0.2	Cu AAT-7 ppm 2
D109401	<5	<5				<0.2	<0.2	51
D109402	6					<0.2		52
D109403	5					0.3		41
D109404	<5					1.2		40
D109405	<5					0.5		77
D109406	11					0.3		115
D109407	<5					0.3		106
D109408	2152				2.23	21.5		3100
D109409	11					0.3		116
D109410	<5					0.2		43
D109411	5					0.2		39
D109412	<5					0.2		31
D109413	<5	6				1.6	1.5	341
D109414	6					1.5		346
Blk-01	<5							
D109415	5					0.5		100
D109416	<5					<0.2		51
D109417	8					0.5		184
OXD108-01	419							
D109418	115					0.3		77

*Patrick Dubé*  
Patrick Dubé, Directeur adjoint

\*\*\* Certificat d'analyses \*\*\*

**Laboratoire Expert Inc.**

127, Boulevard Industriel  
Rouyn-Noranda, Québec  
Canada, J9X 6P2  
Téléphone : (819) 762-7100, Télécopieur : (819) 762-7510

Date : 2016/01/19

Page : 2 de 6

Client : <b>Globex Mining Enterprises Inc.</b>	
Destinataire : <b>Benjamin Mougín</b>	Dossier : <b>44299</b>
	Votre no. commande :
	Projet : <b>DUVAN COPPER</b>
	Nombre total d'échantillons : <b>54</b>

Identification	Au FA-GEO ppb 5	Au-Dup FA-GEO ppb 5	Au-Dup-2 FA-GEO ppb 5	Au-Dup-3 FA-GEO ppb 5	Au FA-GRAV g/t 0.03	Ag AAT-7 ppm 0.2	Ag-Dup AAT-7 ppm 0.2	Cu AAT-7 ppm 2
D109419	8					0.2		87
D109420	6					0.4		138
D109421	<5					0.3		85
D109422	<5					<0.2		44
D109423	5					<0.2		41
D109424	<5					0.3		30
D109425	17	20				<0.2	<0.2	54
D109426	1663	997	1013	345	0.75	0.4		35
D109427	60					<0.2		37
D109428	199					1.0		393
D109429	193					1.2		398
D109430	4350				4.46	88.7		----- >DL
D109431	43					0.3		118
D109432	5					0.5		52
D109433	124					<0.2		49
D109434	19					0.2		48
D109435	12					0.2		103
D109436	5					<0.2		77
D109437	<5	<5				<0.2	<0.2	60
D109438	19					0.5		315

>DL Valeur est supérieure à la limite de détection

**\*\*\* Certificat d'analyses \*\*\***

**Laboratoire Expert Inc.**

127, Boulevard Industriel  
Rouyn-Noranda, Québec  
Canada, J9X 6P2  
Téléphone : (819) 762-7100, Télécopieur : (819) 762-7510

Date : 2016/01/19

Page : 3 de 6

Client : <b>Globex Mining Enterprises Inc.</b>	
Destinataire : <b>Benjamin Mougín</b>	Dossier : <b>44299</b>
	Votre no. commande :
	Projet : <b>DUVAN COPPER</b>
	Nombre total d'échantillons : <b>54</b>

Identification	Au FA-GEO ppb 5	Au-Dup FA-GEO ppb 5	Au-Dup-2 FA-GEO ppb 5	Au-Dup-3 FA-GEO ppb 5	Au FA-GRAV g/t 0.03	Ag AAT-7 ppm 0.2	Ag-Dup AAT-7 ppm 0.2	Cu AAT-7 ppm 2
D109439	14					0.5		305
D109440	13					0.2		47
D109441	<5					<0.2		54
Blk-02	<5							
D109442	5					<0.2		21
D109443	<5					0.3		18
D109444	38					0.2		18
SE68-01	583							
D109445	17					<0.2		60
D109446	<5					<0.2		35
D109447	<5					<0.2		60
D109448	7					0.3		72
D109449	2226	<5			2.23	21.6	21.6	3022
D109450	<5					<0.2		54
D109451	34					<0.2		19
D109452	<5					<0.2		21
D109453	<5					<0.2		77
D109454	<5					<0.2		122

# Laboratoire Expert Inc.

127, Boulevard Industriel  
 Rouyn-Noranda, Québec  
 Canada, J9X 6P2  
 Téléphone : (819) 762-7100, Télécopieur : (819) 762-7510

Date : 2016/01/19

Page : 4 de 6

Client : <b>Globex Mining Enterprises Inc.</b>	
Destinataire : <b>Benjamin Mougín</b>	Dossier : <b>44299</b>
	Votre no. commande :
	Projet : <b>DUVAN COPPER</b>
	Nombre total d'échantillons : <b>54</b>

Identification	Cu-Dup AAT-7 ppm 2	Zn AAT-7 ppm 2	Zn-Dup AAT-7 ppm 2	Cu AAT-8 % 0.010	Zn AAT-8 % 0.010	Zn-Dup AAT-8 % 0.010
D109401	51	16	16			
D109402		15				
D109403		27				
D109404		22				
D109405		19				
D109406		23				
D109407		19				
D109408		----- >DL			1.930	
D109409		48				
D109410		37				
D109411		40				
D109412		54				
D109413	349	401	404			
D109414		433				
Blk-01						
D109415		29				
D109416		32				
D109417		71				
OXD108-01						
D109418		35				

>DL Valeur est supérieure à la limite de détection

# Laboratoire Expert Inc.

127, Boulevard Industriel  
 Rouyn-Noranda, Québec  
 Canada, J9X 6P2  
 Téléphone : (819) 762-7100, Télécopieur : (819) 762-7510

Date : 2016/01/19

Page : 5 de 6

Client : <b>Globex Mining Enterprises Inc.</b>	
Destinataire : <b>Benjamin Mougín</b>	Dossier : <b>44299</b>
	Votre no. commande :
	Projet : <b>DUVAN COPPER</b>
	Nombre total d'échantillons : <b>54</b>

Identification	Cu-Dup AAT-7 ppm 2	Zn AAT-7 ppm 2	Zn-Dup AAT-7 ppm 2	Cu AAT-8 % 0.010	Zn AAT-8 % 0.010	Zn-Dup AAT-8 % 0.010
D109419		29				
D109420		72				
D109421		49				
D109422		29				
D109423		33				
D109424		30				
D109425	53	46	46			
D109426		39				
D109427		47				
D109428		223				
D109429		201				
D109430		71		1.210		
D109431		44				
D109432		33				
D109433		24				
D109434		32				
D109435		11				
D109436		13				
D109437	59	25	24			
D109438		28				

# Laboratoire Expert Inc.

127, Boulevard Industriel  
 Rouyn-Noranda, Québec  
 Canada, J9X 6P2  
 Téléphone : (819) 762-7100, Télécopieur : (819) 762-7510

Date : 2016/01/19

Page : 6 de 6

Client : <b>Globex Mining Enterprises Inc.</b>	
Destinataire : <b>Benjamin Mougins</b>	Dossier : <b>44299</b>
	Votre no. commande :
	Projet : <b>DUVAN COPPER</b>
	Nombre total d'échantillons : <b>54</b>

Identification	Cu-Dup AAT-7 ppm 2	Zn AAT-7 ppm 2	Zn-Dup AAT-7 ppm 2	Cu AAT-8 % 0.010	Zn AAT-8 % 0.010	Zn-Dup AAT-8 % 0.010
D109439		30				
D109440		38				
D109441		35				
Blk-02						
D109442		24				
D109443		24				
D109444		23				
SE68-01						
D109445		32				
D109446		28				
D109447		34				
D109448		36				
D109449	3033	----- >DL			1.940	2.020
D109450		56				
D109451		25				
D109452		18				
D109453		15				
D109454		30				

>DL Valeur est supérieure à la limite de détection

**\*\*\* Certificat d'analyses \*\*\***

**Laboratoire Expert Inc.**

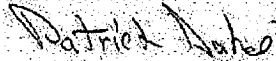
127, Boulevard Industriel  
 Rouyn-Noranda, Québec  
 Canada, J9X 6P2  
 Téléphone : (819) 762-7100, Télécopieur : (819) 762-7510

Date : 2016/01/27

Page : 1 de 3

Client : <b>Globex Mining Enterprises Inc.</b>	
Destinataire : <b>Benjamin Mougin</b>	Dossier : <b>44393</b>
	Votre no. commande :
	Projet : <b>DUVAN COPPER &amp; GREAT</b>
	Nombre total d'échantillons : <b>46</b>

Identification	Au FA-GEO ppb 5	Au-Dup FA-GEO ppb 5	Au FA-GRAV g/t 0.03
	D109455	11	9
D109456	16		
D109457	<5		
D109458	32		
D109459	<5		
D109460	15		
D109461	6		
D109462	<5		
D109463	<5		
D109464	11		
D109465	<5		
D109466	<5		
D109467	<5	<5	
D109468	999		1.06
D109469	<5		
D109470	<5		
D109471	<5		
D109472	<5		
Blk-01	<5		
D109473	7		

  
 Patrick Dubé, Directeur adjoint

**\*\*\* Certificat d'analyses \*\*\***

**Laboratoire Expert Inc.**

127, Boulevard Industriel  
 Rouyn-Noranda, Québec  
 Canada, J9X 6P2  
 Téléphone : (819) 762-7100, Télécopieur : (819) 762-7510

Date : 2016/01/27  
 Page : 2 de 3

Client : <b>Globex Mining Enterprises Inc.</b>	
Destinataire : <b>Benjamin Mougín</b>	Dossier : <b>44393</b>
	Votre no. commande :
	Projet : <b>DUVAN COPPER &amp; GREAT</b>
	Nombre total d'échantillons : <b>46</b>

Identification	Au FA-GEO ppb 5	Au-Dup FA-GEO ppb 5	Au FA-GRAV g/t 0.03
	D109474	6	
D109475	<5		
SE68-01	584		
D109476	5		
D109477	<5		
D109478	<5		
D109479	8	6	
D109480	6		
D109481	<5		
D109482	<5		
D109483	<5		
D109484	<5		
D109485	<5		
D109486	<5		
D109487	6		
D109488	<5		
D109489	1036		1.10
D109490	<5		
D109491	<5	<5	
D109492	<5		

\*\*\* Certificat d'analyses \*\*\*

Laboratoire Expert Inc.

127, Boulevard Industriel  
Rouyn-Noranda, Québec  
Canada, J9X 6P2  
Téléphone : (819) 762-7100, Télécopieur : (819) 762-7510

Date : 2016/01/27

Page : 3 de 3

Client : <b>Globex Mining Enterprises Inc.</b>	
Destinataire : <b>Benjamin Mougín</b>	Dossier : <b>44393</b> Votre no. commande : Projet : <b>DUVAN COPPER &amp; GREAT</b>
	Nombre total d'échantillons : <b>46</b>

Identification	Au FA-GEO ppb 5	Au-Dup FA-GEO ppb 5	Au FA-GRAV g/t 0.03
D109493	<5		
D109494	7		
D109495	<5		
D109496	<5		
D109497	<5		
D109498	<5		
D109499	<5		
Blk-02	<5		
D109500	<5		

# Laboratoire Expert Inc.

127, Boulevard Industriel  
 Rouyn-Noranda, Québec  
 Canada, J9X 6P2  
 Téléphone : (819) 762-7100, Télécopieur : (819) 762-7510

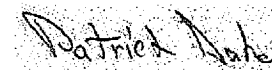
Date : 2016/01/28

Page : 1 de 3

Client : <b>Globex Mining Enterprises Inc.</b>	
Destinataire : <b>Benjamin Mougín</b>	Dossier : <b>44394</b>
	Votre no. commande :
	Projet : <b>DUVAN COPPER &amp; GREAT</b>
	Nombre total d'échantillons : <b>43</b>

Identification	Au FA-GEO ppb 5	Au-Dup FA-GEO ppb 5	Au FA-GRAV g/t 0.03
	D109351	<5	<5
D109352	<5		
D109353	<5		
D109354	5		
D109355	<5		
D109356	<5		
D109357	<5		
D109358	<5		
D109359	<5		
D109360	5		
D109361	<5		
D109362	<5		
D109363	3076	3122	----- I.S
D109364	8		
D109365	<5		
D109366	9		
D109367	<5		
D109368	8		
D109369	<5		
D109370	<5		

I.S Quantité insuffisante

  
 Patrick Dubé, Directeur adjoint

# Laboratoire Expert Inc.

127, Boulevard Industriel  
 Rouyn-Noranda, Québec  
 Canada, J9X 6P2  
 Téléphone : (819) 762-7100, Télécopieur : (819) 762-7510

Date : 2016/01/28

Page : 2 de 3

Client : <b>Globex Mining Enterprises Inc.</b>	
Destinataire : <b>Benjamin Mougín</b>	Dossier : <b>44394</b>
	Votre no. commande :
	Projet : <b>DUVAN COPPER &amp; GREAT</b>
	Nombre total d'échantillons : <b>43</b>

Identification	Au FA-GEO ppb 5	Au-Dup FA-GEO ppb 5	Au FA-GRAV g/t 0.03
	D109371	<5	
D109372	5		
Blk-01	<5		
D109373	9		
D109374	12		
D109375	<5	6	
SE68-01	579		
D109376	5		
D109377	<5		
D109378	5		
D109379	9		
D109380	<5		
D109381	<5		
D109382	<5		
D109383	5		
D109384	<5		
D109385	7		
D109386	<5		
D109387	2964	3190	----- I.S
D109388	<5		

\*\*\* Certificat d'analyses \*\*\*

Laboratoire Expert Inc.

127, Boulevard Industriel  
Rouyn-Noranda, Québec  
Canada, J9X 6P2  
Téléphone : (819) 762-7100, Télécopieur : (819) 762-7510

Date : 2016/01/28

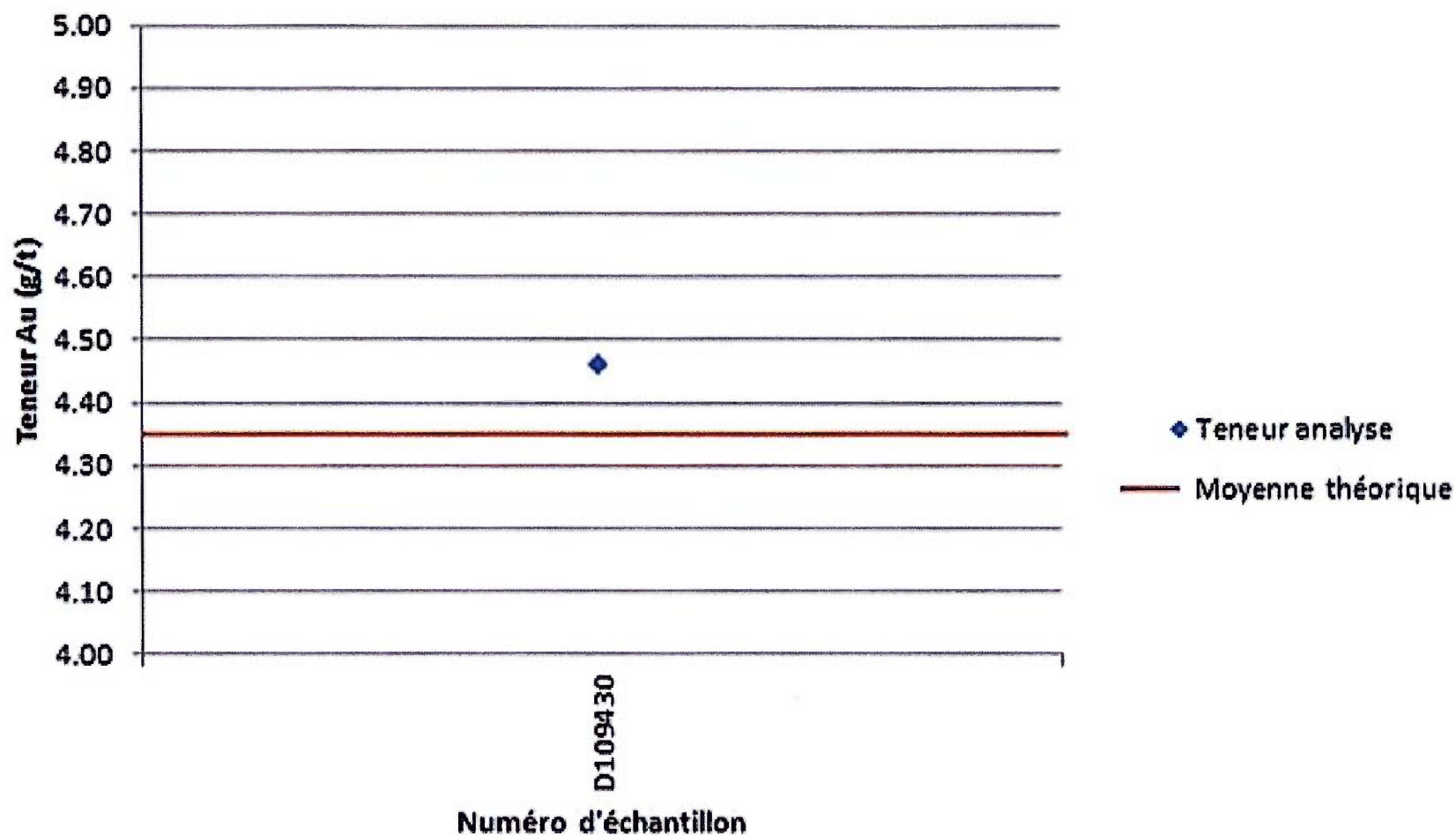
Page : 3 de 3

Client : <b>Globex Mining Enterprises Inc.</b>	
Destinataire : <b>Benjamin Mougín</b>	Dossier : <b>44394</b>
	Votre no. commande :
	Projet : <b>DUVAN COPPER &amp; GREAT</b>
	Nombre total d'échantillons : <b>43</b>

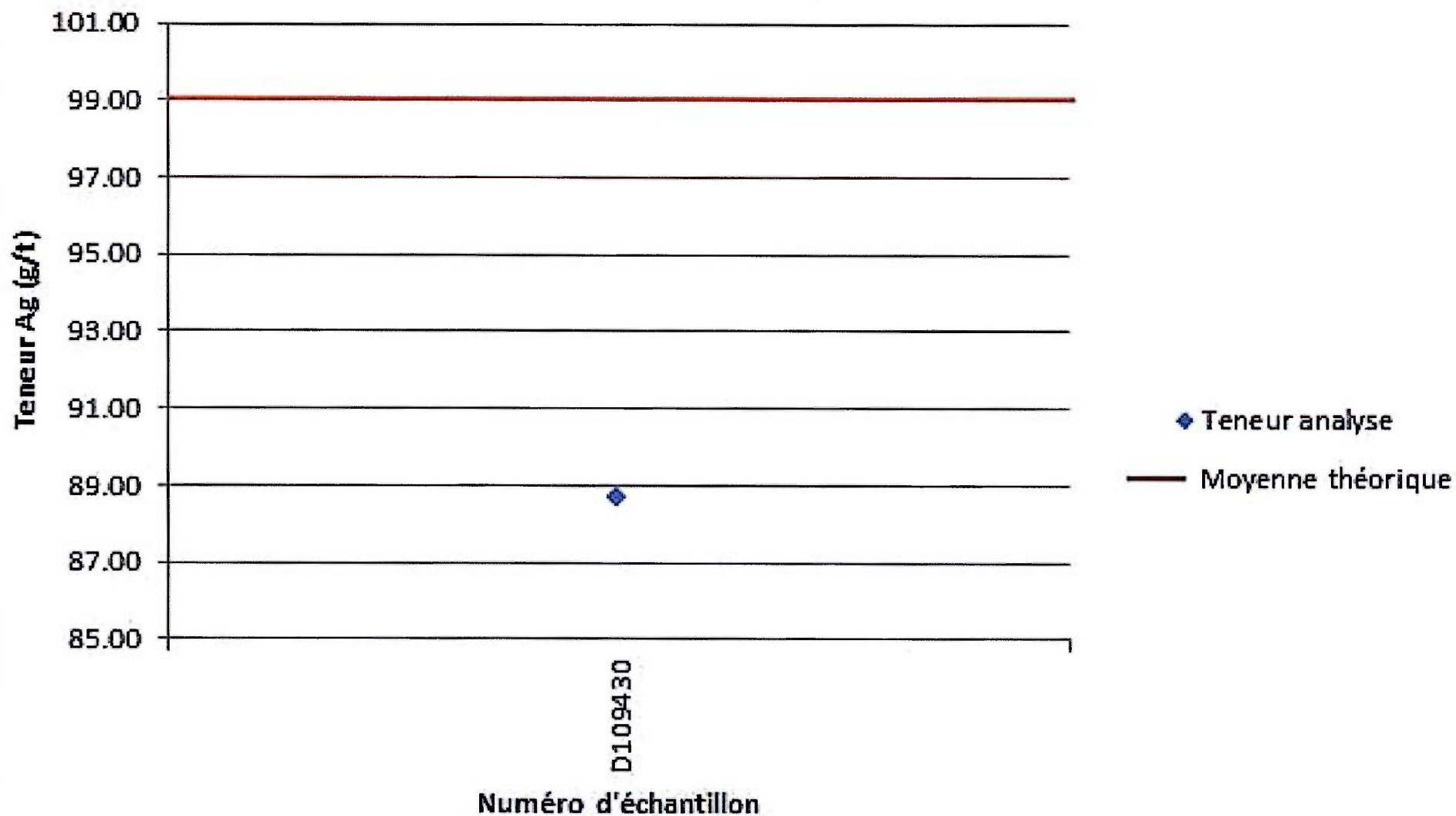
Identification	Au FA-GEO ppb 5	Au-Dup FA-GEO ppb 5	Au FA-GRAV g/t 0.03
	D109389	<5	
D109390	<5		
D109391	10		
D109392	<5		
D109393	<5		

**Annexe IV**  
*Graphiques QAQC*

## Standard "Cu 163" analysé pour Au (g/t)



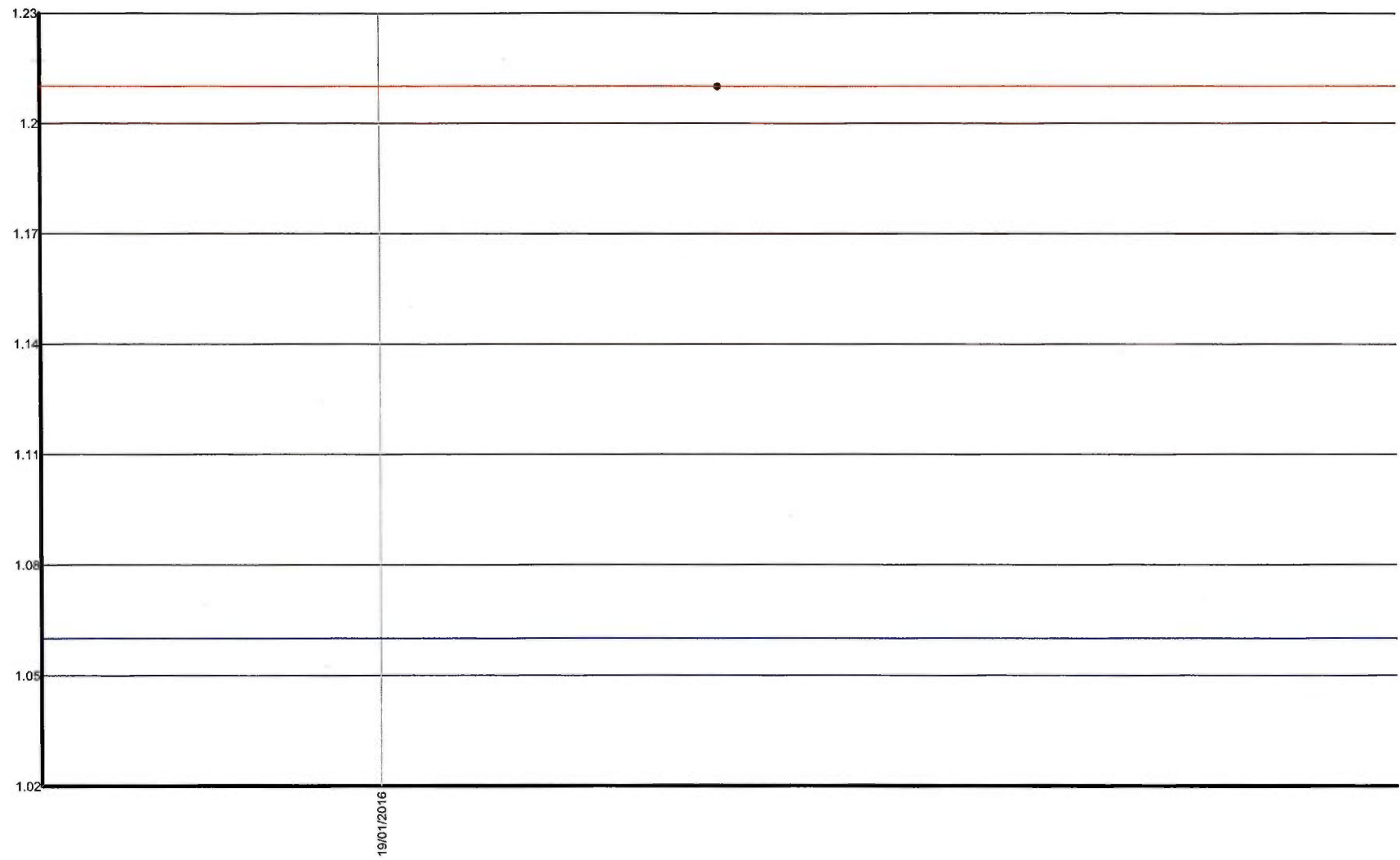
## Standard "Cu 163" analysé pour Ag (g/t)



Standard CU163 analyzed for Cu (%)

All the samples have been used for the statistical calculations. Allowed codes and zeros have been included.

Statistics: (N=1; Min.=1.21; Max.=1.21; Mean=1.21; S=0)



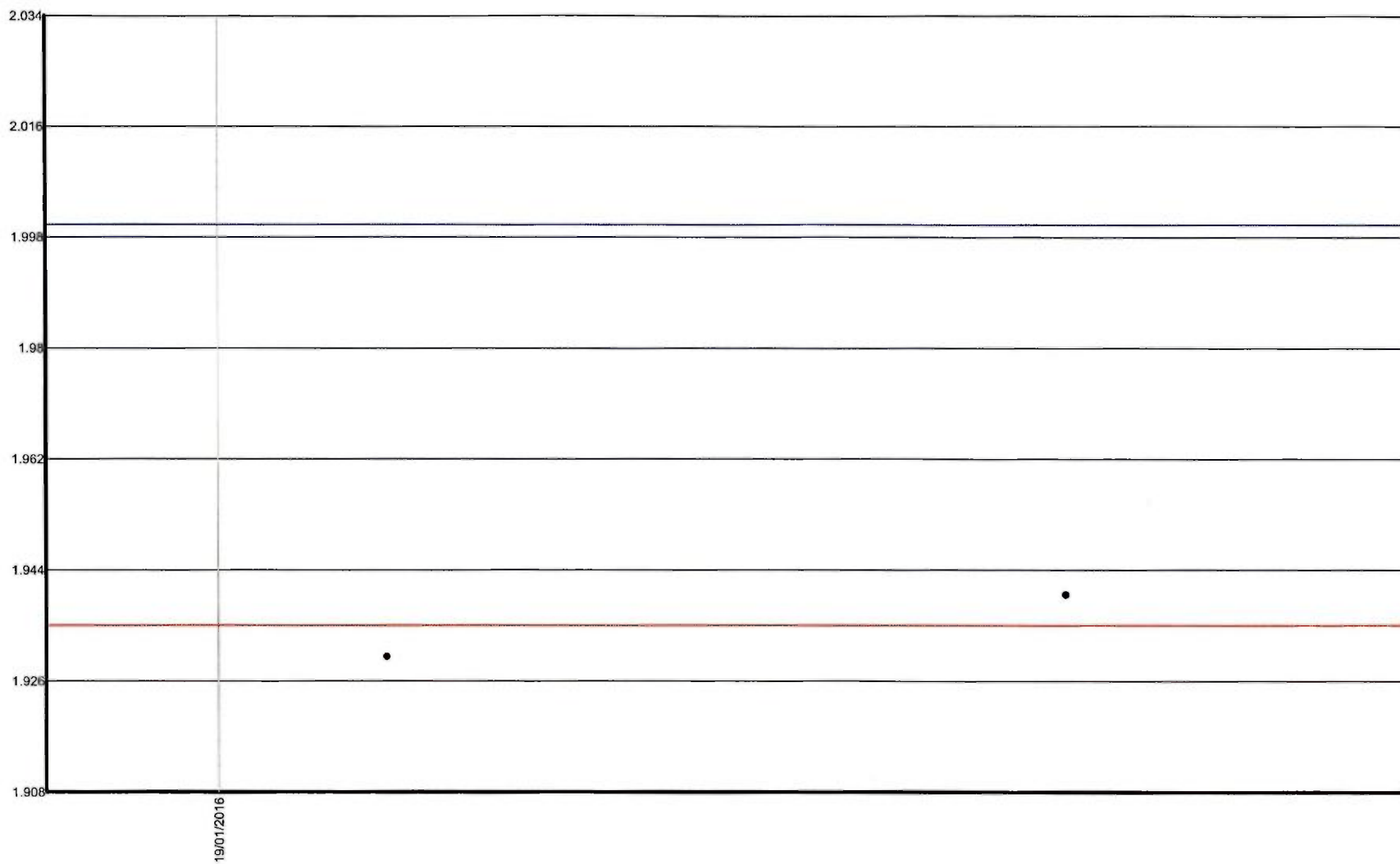
— Measured interval at 90% conf.

— Theoretical interval at 90% conf.

Standard PB129 analyzed for Zn (%)

All the samples have been used for the statistical calculations. Allowed codes and zeros have been included.

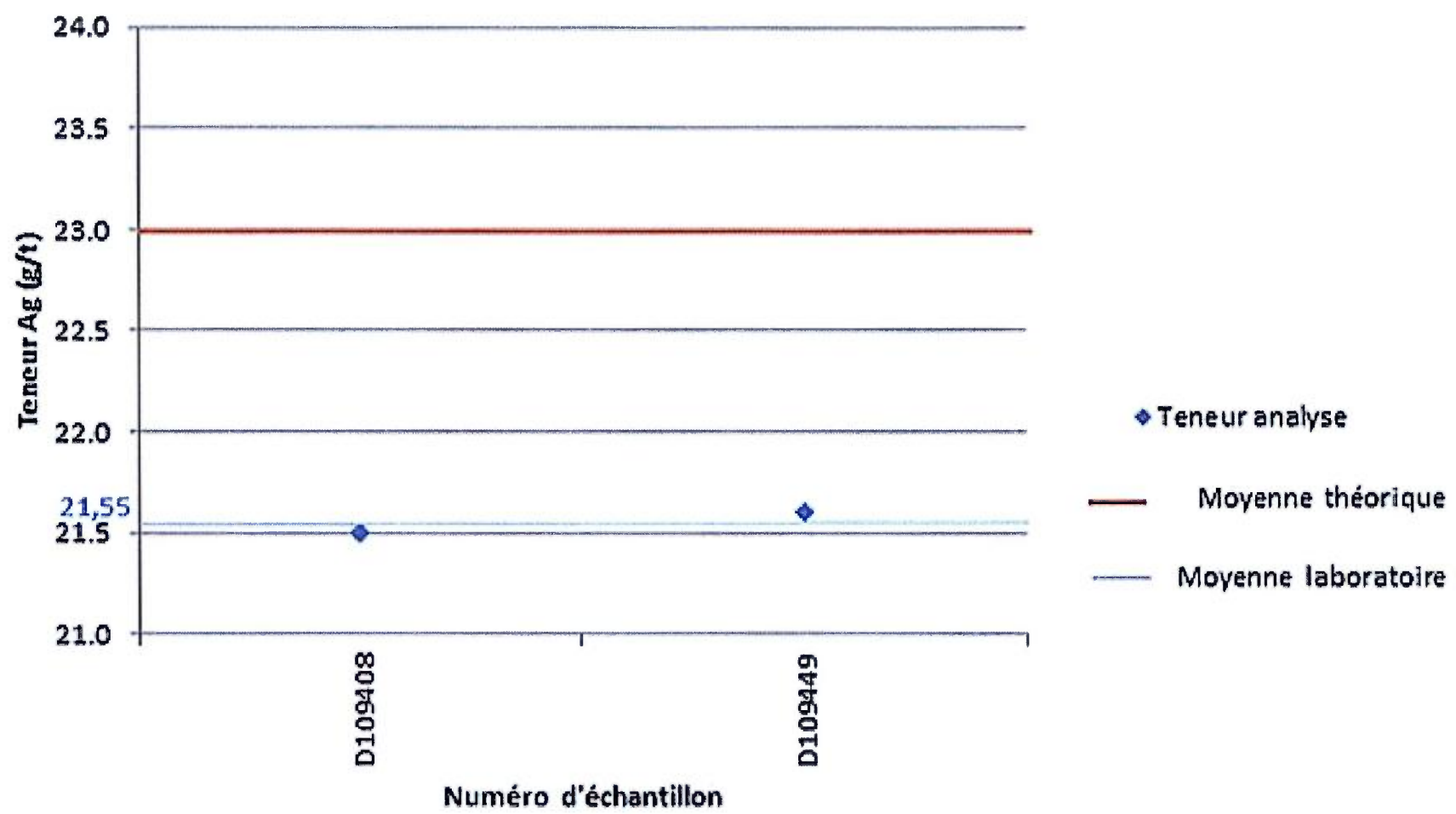
Statistics: (N=2; Min.=1.93; Max.=1.94; Mean=1.935; S=0.007)



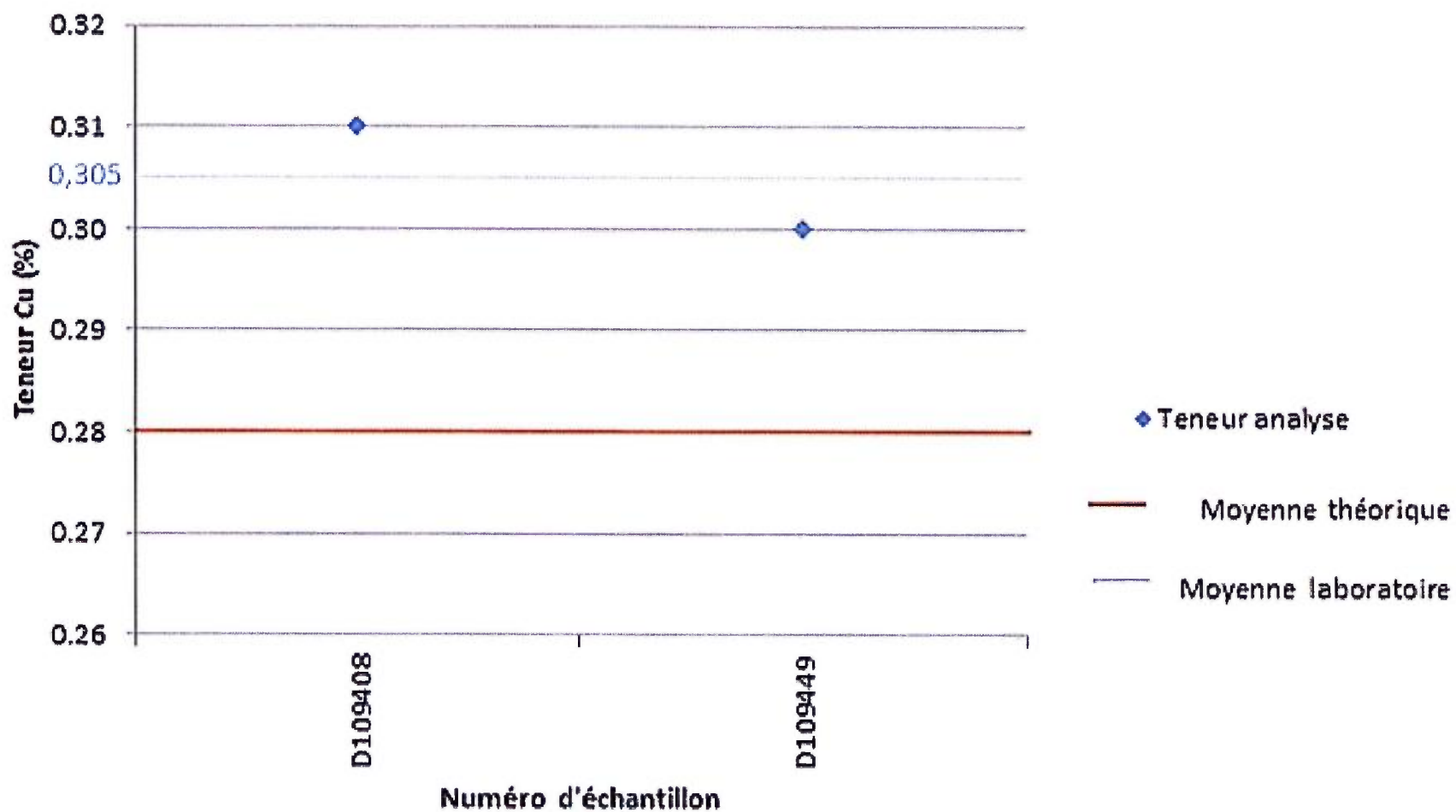
— Measured interval at 90% conf.

— Theoretical interval at 90% conf.

### Standard "Pb 129" analysé pour Ag (g/t)



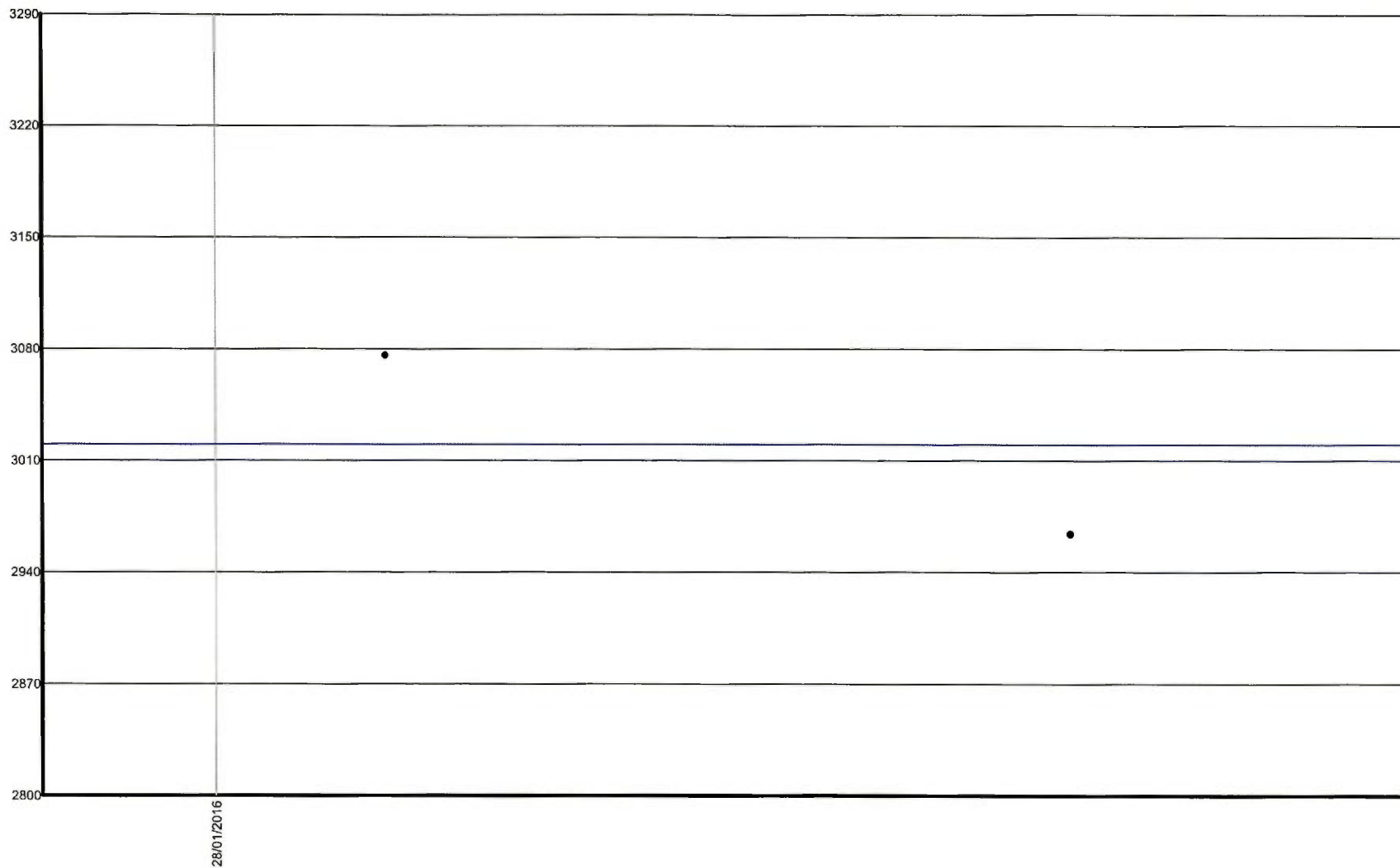
## Standard "Pb 129" analysé pour Cu (%)



Standard Ma2c analyzed for Au (ppb)

All the samples have been used for the statistical calculations. Allowed codes and zeros have been included.

Statistics: (N=2; Min.=2964; Max.=3076; Mean=3020; S=79.196)



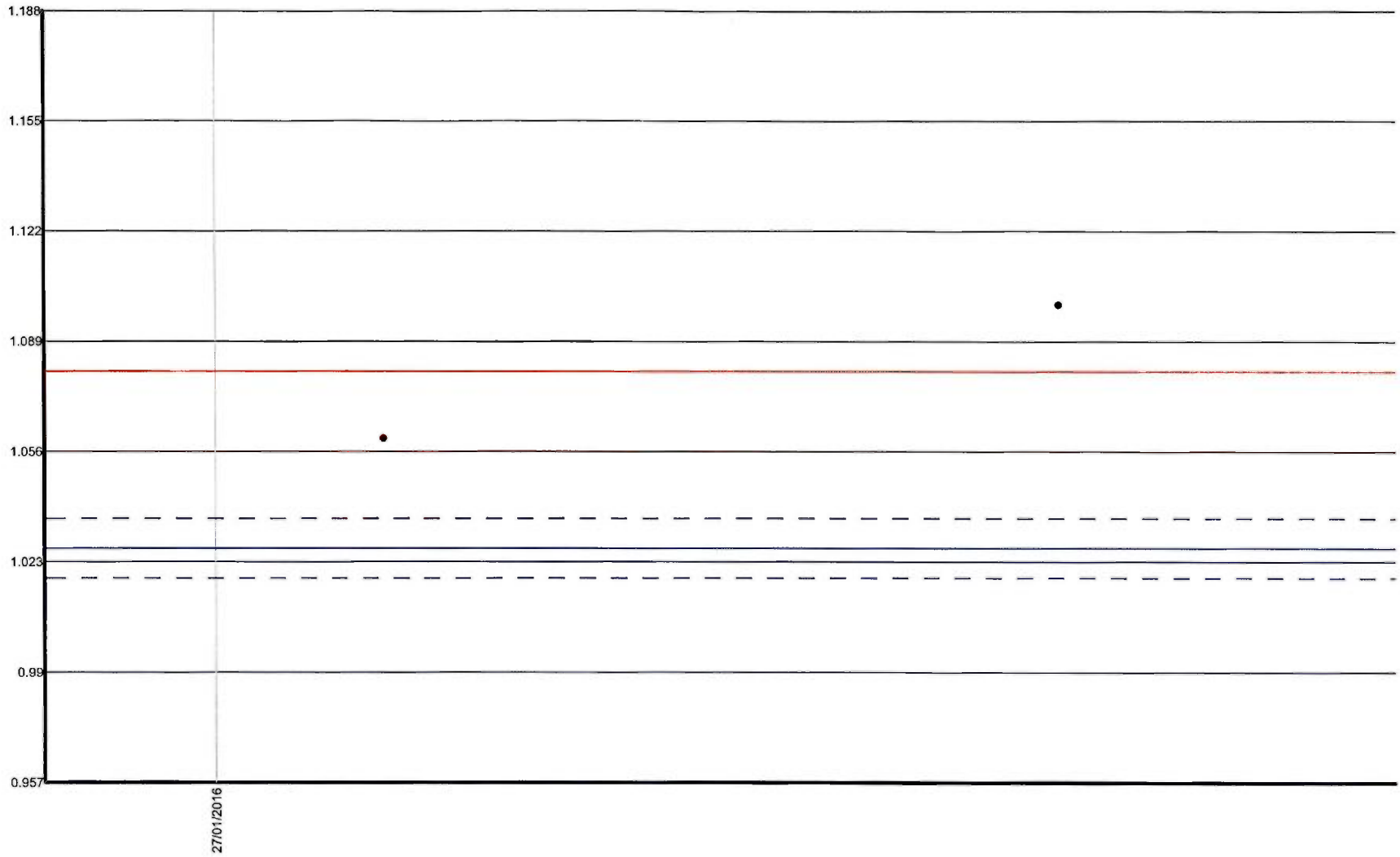
— Measured interval at 90% conf.

— Theoretical interval at 90% conf.

Standard SG56 analyzed for Au (g/t)

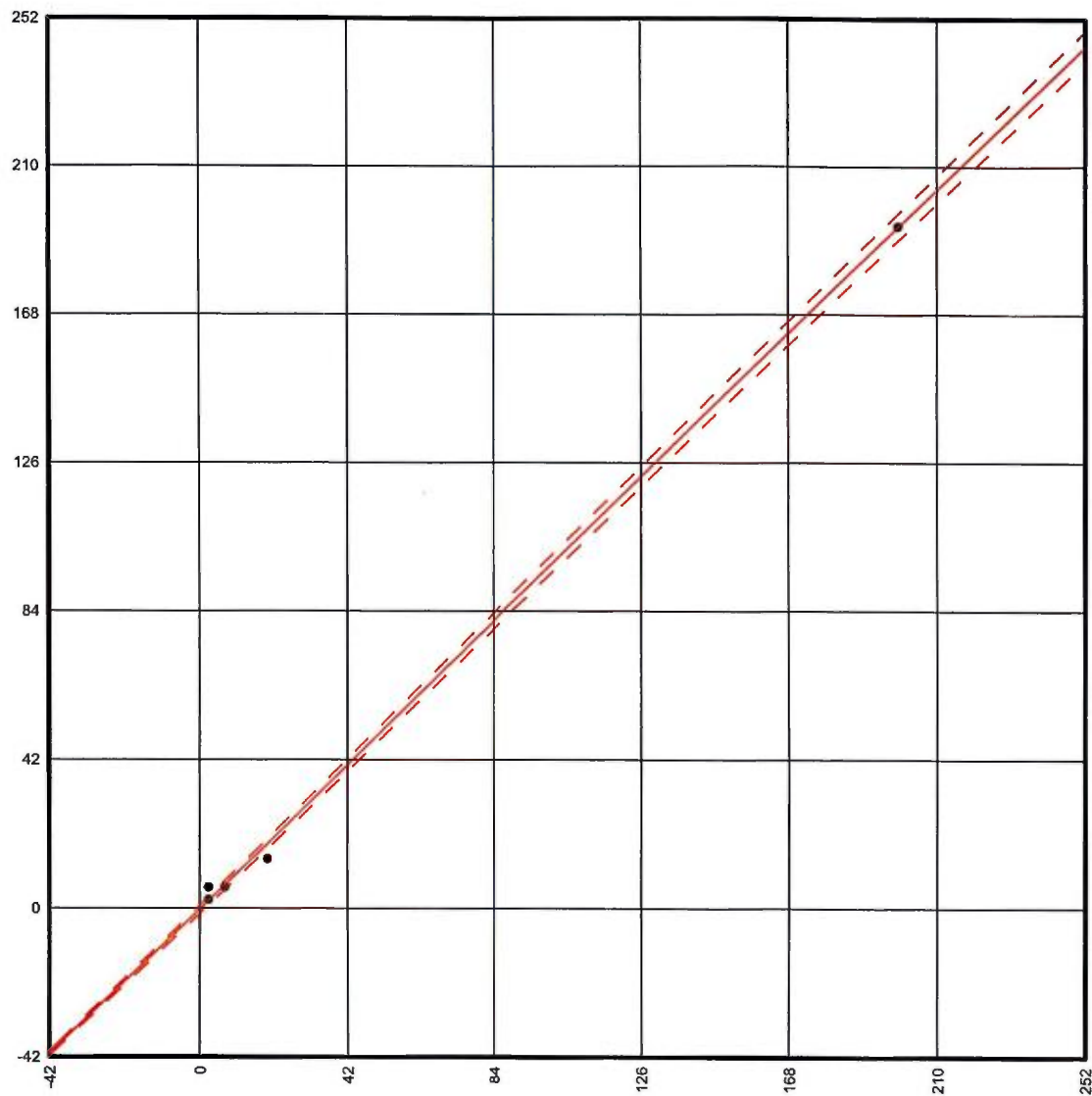
All the samples have been used for the statistical calculations. Allowed codes and zeros have been included.

Statistics: (N=2; Min.=1.06; Max.=1.1; Mean=1.08; S=0.028)



— Measured interval at 90% conf.

— Theoretical interval at 90% conf.



Linear regression of  
 Au (ppb) [Double] (Y Axis) on  
 Au (ppb) [Assay] (X Axis)

Number of displayed samples: 6  
 Number of samples used for the calculations: 6  
 Allowed codes and zeros have been included

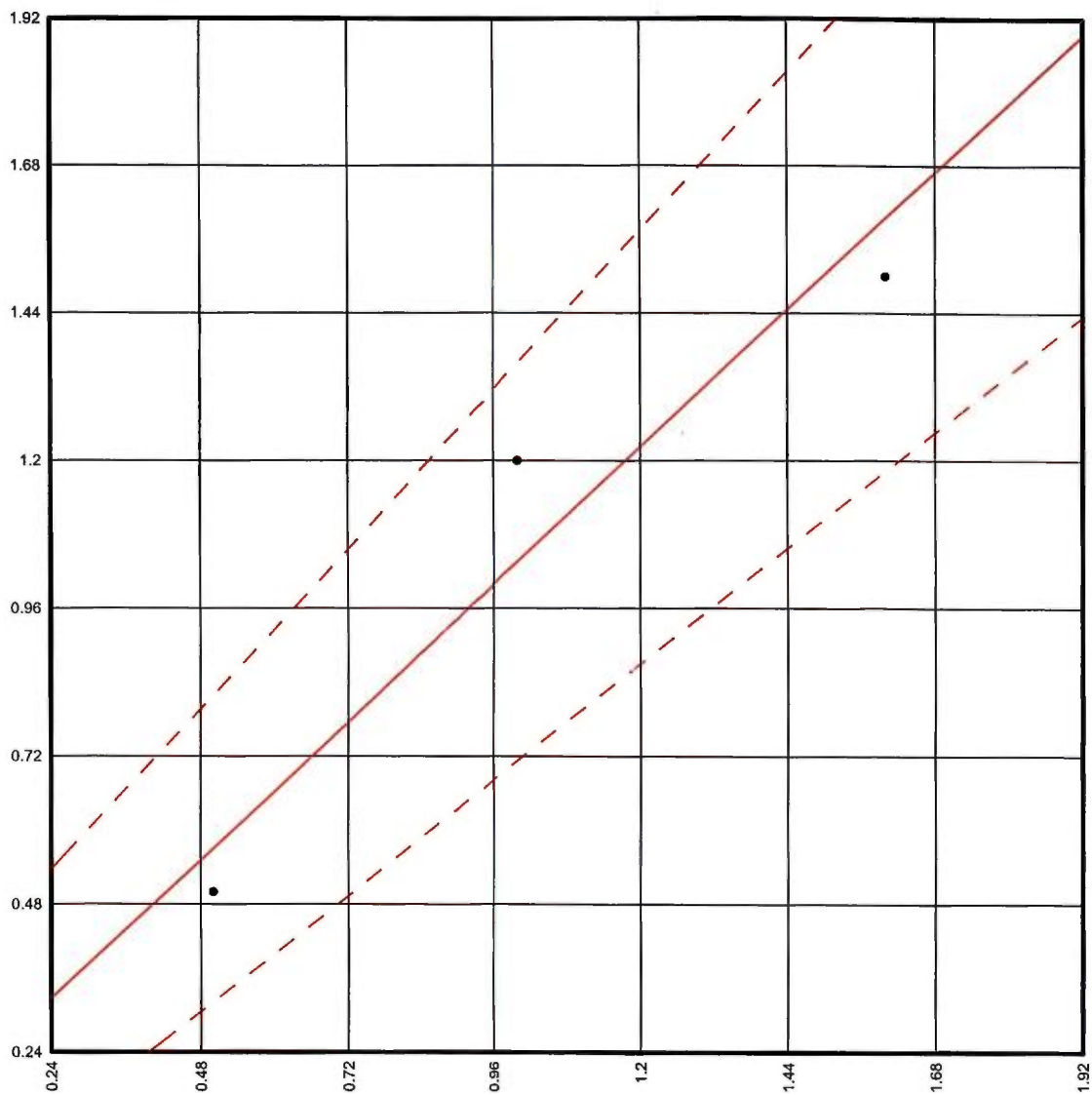
Values calculated by considering a confidence interval at 95%

Au (ppb) (X Axis)  
 Mean:  $38.75 \pm 82.66$   
 Std. deviation: 78.76595

Au (ppb) (Y Axis)  
 Mean:  $37.3333 \pm 80.153$   
 Std. deviation: 76.37648

Au (ppb) and Au (ppb) together (Axis X and Y)  
 Mean: 38.0417  
 Correlation coefficient: 0.99944

Linear regression by RMA method (Reduced Major Axis)  
 Slope:  $0.96966 \pm 0.01324$   
 Intercept:  $-0.24117 \pm 1.16242$   
 Total dispersion compared to RMA: 3.67023  
 Average dispersion for X axis and Y axis: 2.59524  
 Precision: 84.8%



Linear regression of  
Ag (ppm) [Double] (Y Axis) on  
Ag (ppm) [Assay] (X Axis)

Number of displayed samples: 3  
Number of samples used for the calculations: 3  
Allowed codes and zeros have been included

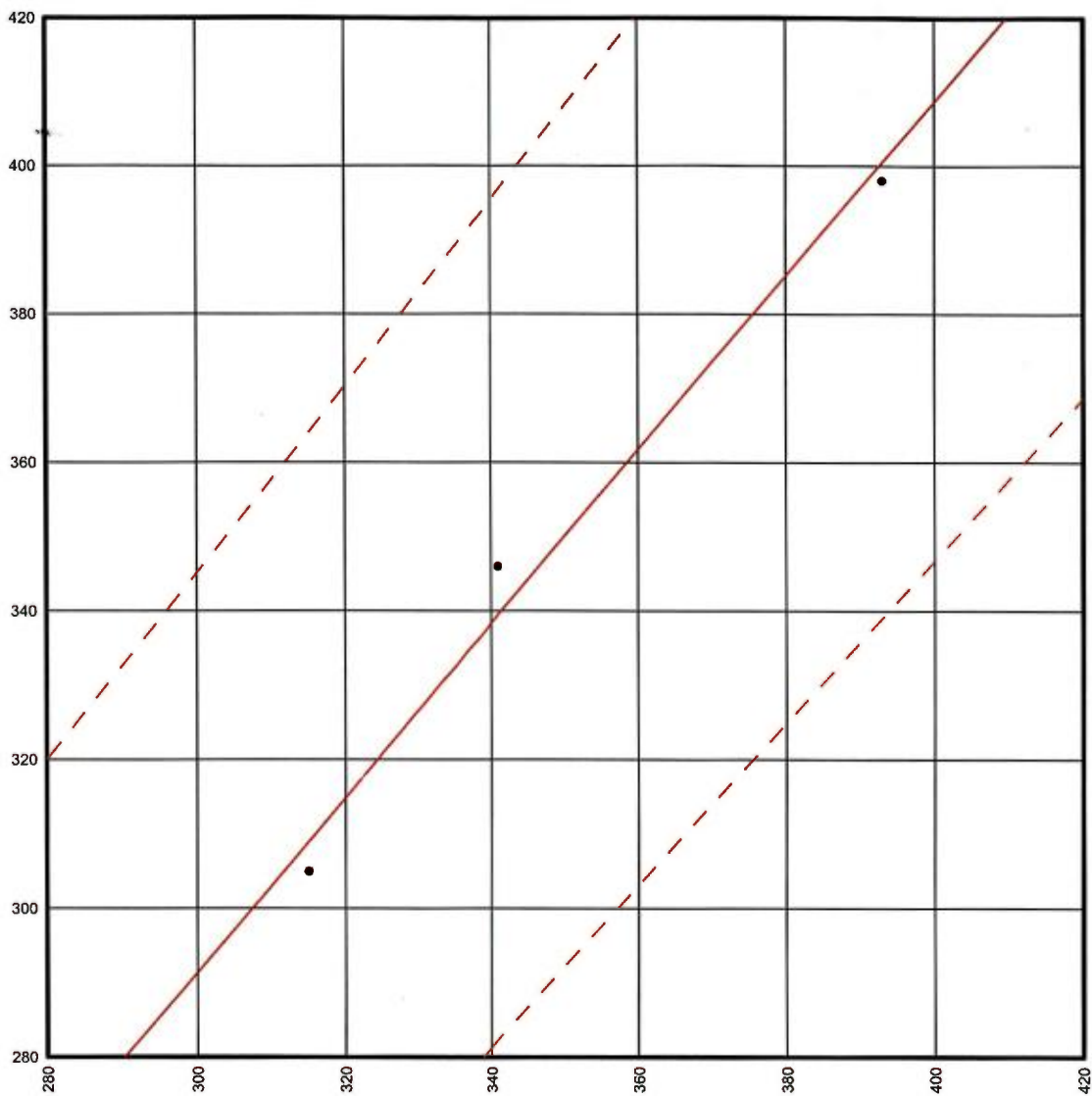
Values calculated by considering a confidence interval at 90%

Ag (ppm) (X Axis)  
Mean:  $1.0333 \pm 0.929$   
Std. deviation: 0.55076

Ag (ppm) (Y Axis)  
Mean:  $1.0667 \pm 0.865$   
Std. deviation: 0.51316

Ag (ppm) and Ag (ppm) together (Axis X and Y)  
Mean: 1.05  
Correlation coefficient: 0.96122

Linear regression by RMA method (Reduced Major Axis)  
Slope:  $0.93174 \pm 0.14835$   
Intercept:  $0.10394 \pm 0.17409$   
Total dispersion compared to RMA: 0.20964  
Average dispersion for X axis and Y axis: 0.14824  
Precision: 69.9%



Linear regression of  
Cu (ppm) [Double] (Y Axis) on  
Cu (ppm) [Assay] (X Axis)

Number of displayed samples: 3  
Number of samples used for the calculations: 3  
Allowed codes and zeros have been included

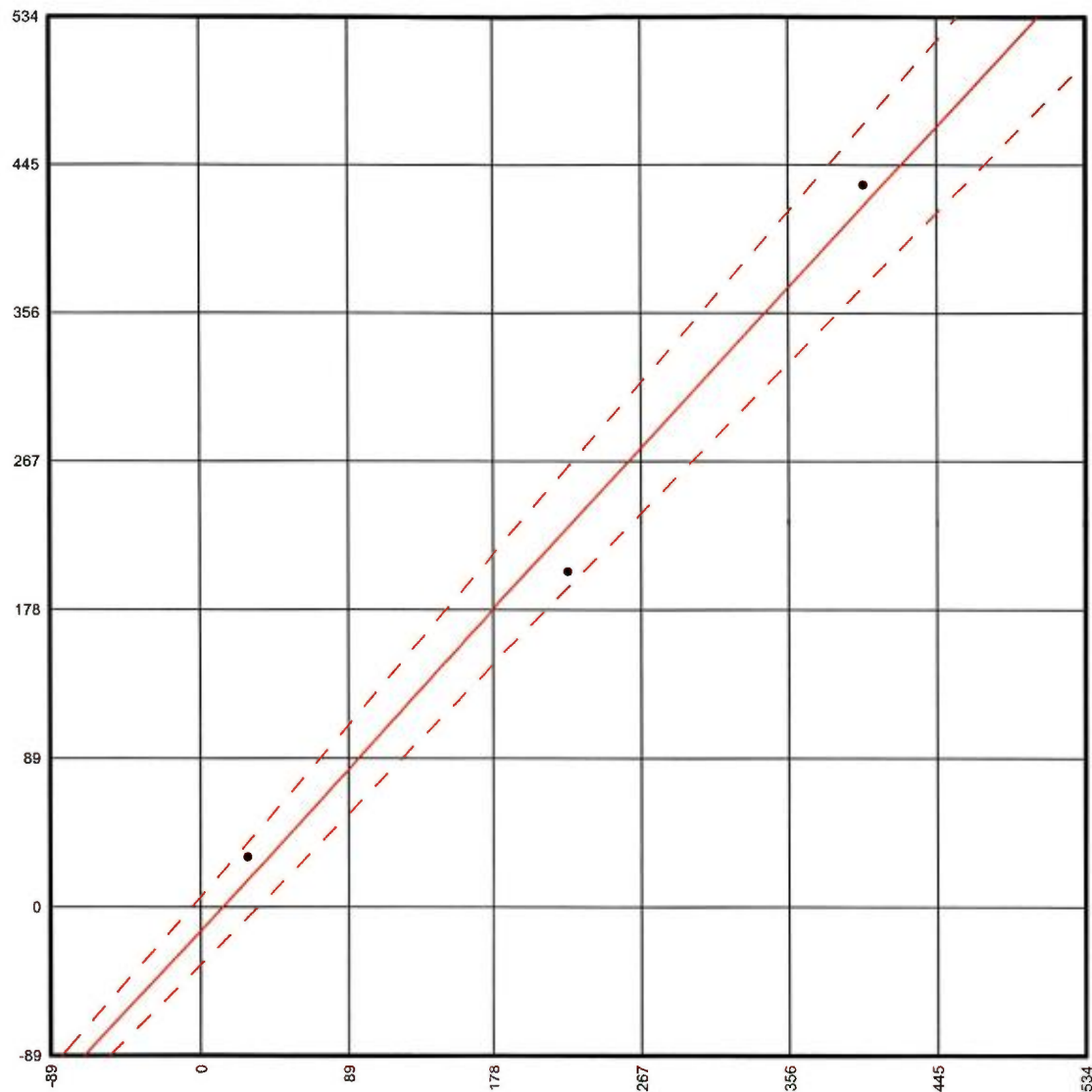
Values calculated by considering a confidence interval at 90%

Cu (ppm) (X Axis)  
Mean:  $349.6667 \pm 66.955$   
Std. deviation: 39.71566

Cu (ppm) (Y Axis)  
Mean:  $349.6667 \pm 78.575$   
Std. deviation: 46.6083

Cu (ppm) and Cu (ppm) together (Axis X and Y)  
Mean: 349.6667  
Correlation coefficient: 0.99257

Linear regression by RMA method (Reduced Major Axis)  
Slope:  $1.17355 \pm 0.08242$   
Intercept:  $-60.68456 \pm 29.00467$   
Total dispersion compared to RMA: 7.46248  
Average dispersion for X axis and Y axis: 5.27677  
Precision: 96.78%



Linear regression of  
Zn (ppm) [Double] (Y Axis) on  
Zn (ppm) [Assay] (X Axis)

Number of displayed samples: 3  
Number of samples used for the calculations: 3  
Allowed codes and zeros have been included

Values calculated by considering a confidence interval at 90%

Zn (ppm) (X Axis)  
Mean: 217.3333 ± 314.522  
Std. deviation: 186.56456

Zn (ppm) (Y Axis)  
Mean: 221.3333 ± 340.996  
Std. deviation: 202.26797

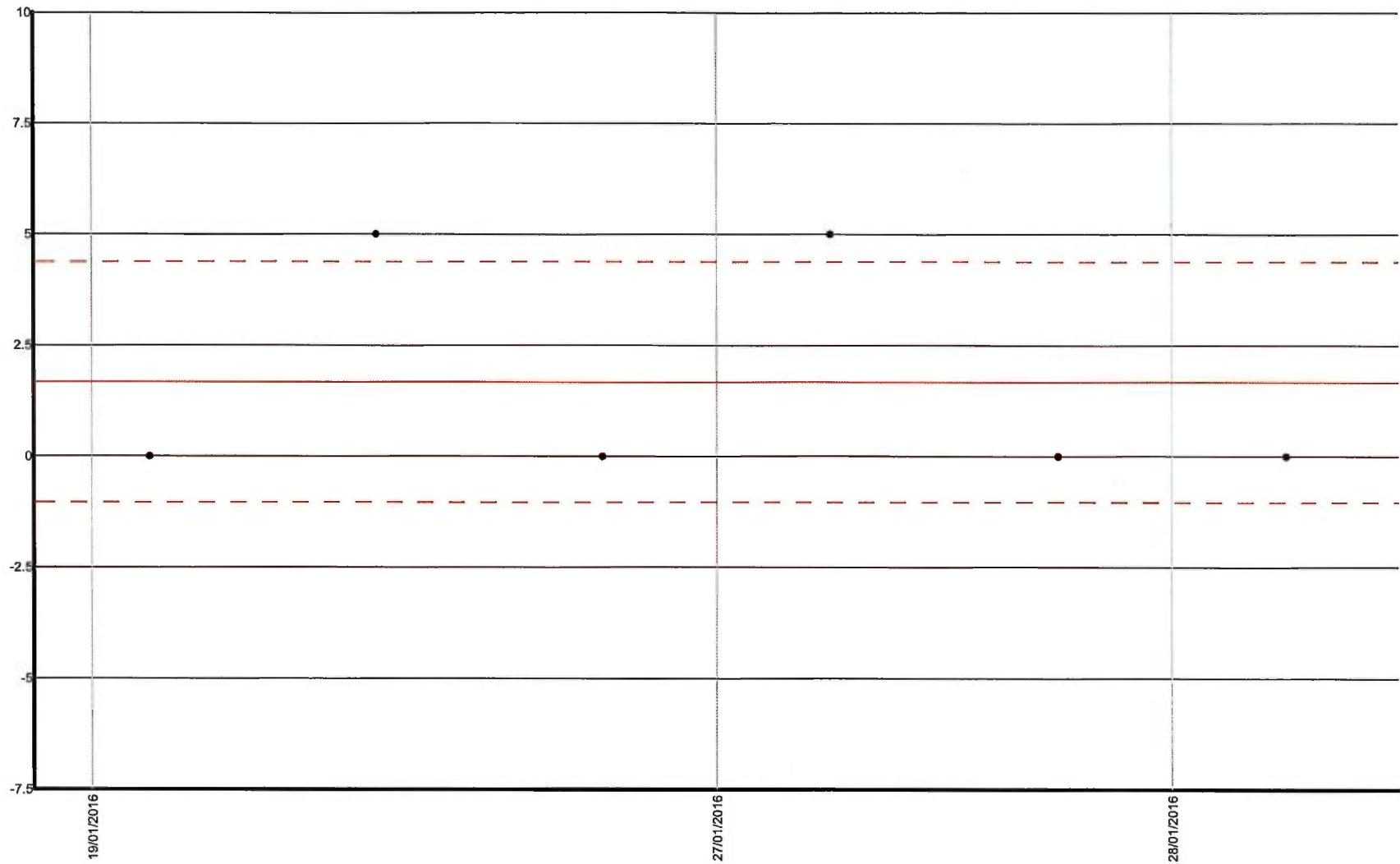
Zn (ppm) and Zn (ppm) together (Axis X and Y)  
Mean: 219.3333  
Correlation coefficient: 0.99357

Linear regression by RMA method (Reduced Major Axis)  
Slope: 1.08417 ± 0.07088  
Intercept: -14.29327 ± 20.31519  
Total dispersion compared to RMA: 31.20861  
Average dispersion for X axis and Y axis: 22.06782  
Precision: 78.55%

Blank Blank analyzed for Au (ppb)

All the samples have been used for the statistical calculations. Allowed codes and zeros have been included.

Statistics: (N=6; Min.=0; Max.=5; Mean=1.6667 ± 2.71 at 95% conf.; S=2.582)

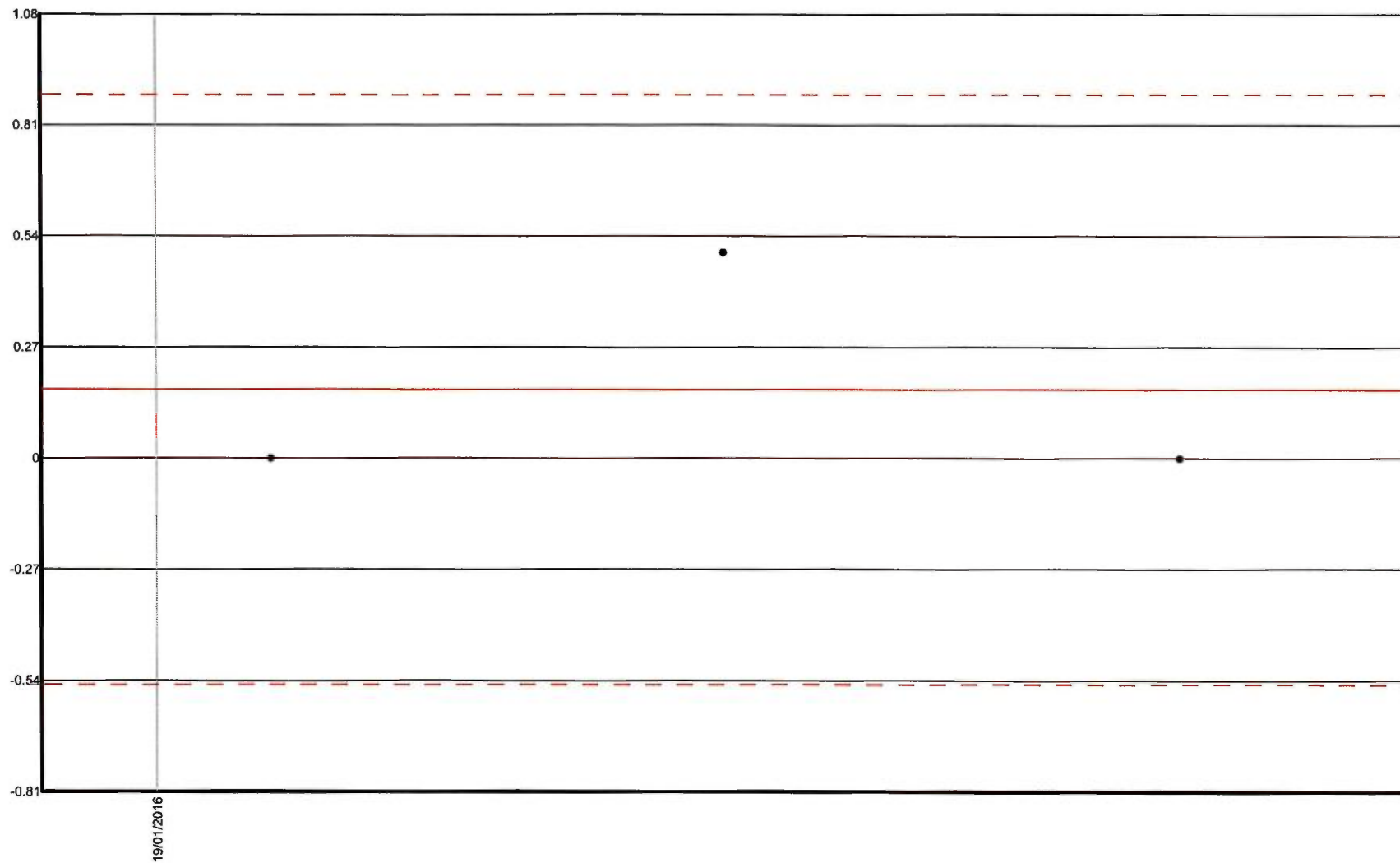


— — Measured interval at 95% conf.

Blank Blank analyzed for Ag (ppm)

All the samples have been used for the statistical calculations. Allowed codes and zeros have been included.

Statistics: (N=3; Min.=0; Max.=0.5; Mean=0.1667 ± 0.717 at 95% conf.; S=0.289)

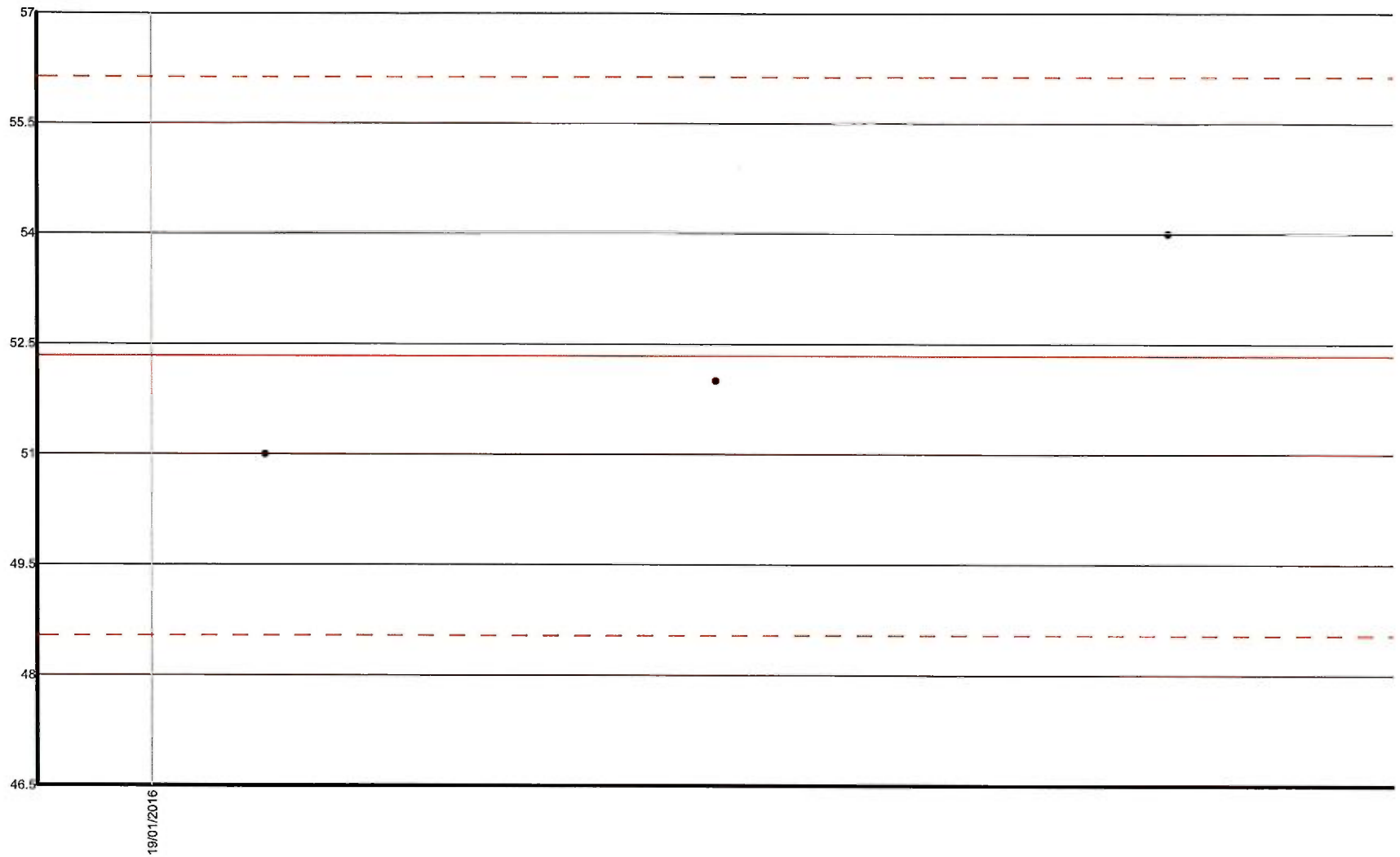


--- Measured interval at 95% conf.

Blank Blank analyzed for Cu (ppm)

All the samples have been used for the statistical calculations. Allowed codes and zeros have been included.

Statistics: (N=3; Min.=51; Max.=54; Mean=52.3333 ± 3.795 at 95% conf.; S=1.528)

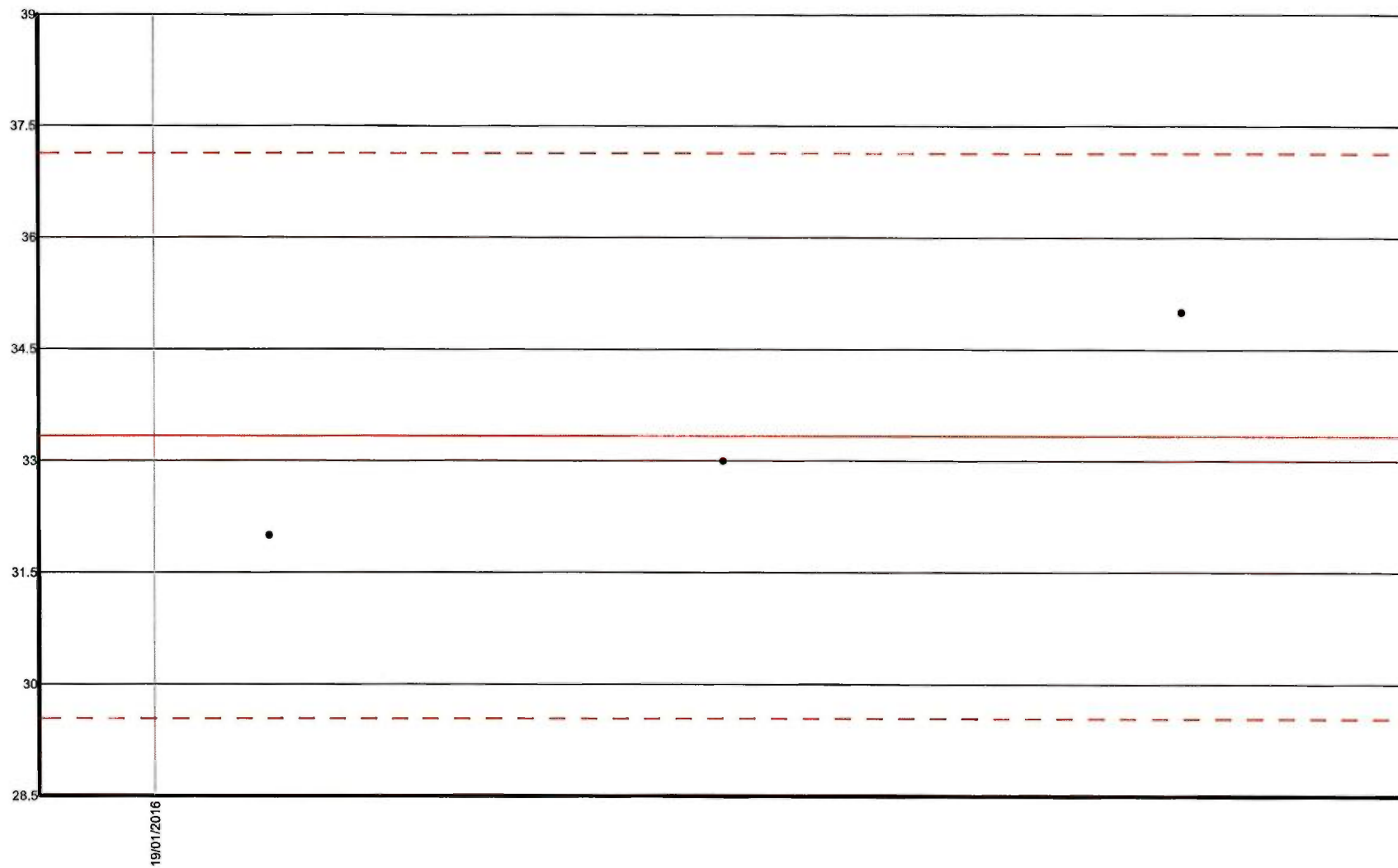


— — Measured interval at 95% conf.

Blank Blank analyzed for Zn (ppm)

All the samples have been used for the statistical calculations. Allowed codes and zeros have been included.

Statistics: (N=3; Min.=32; Max.=35; Mean=33.3333 ± 3.795 at 95% conf.; S=1.528)



— Measured interval at 95% conf.